

บทที่ 4

การศึกษาความสามารถในการกำจัดอนุมูลอิสระและการต้านออกซิเดชัน

การทบทวนวรรณกรรม

สาเหตุของการเกิดปฏิกิริยาออกซิเดชันในร่างกายเกิดได้ทั้งจากอนุมูลอิสระ (free radicals) และอนุภาควงไวออกซิเจน (reactive oxygen species, ROS) ซึ่งอนุมูลอิสระเป็นโมเลกุล หรือ อะตอมที่มีอิเล็กตรอนเดี่ยว (unpaired electron) โคจรรอบวงนอกสุดของออร์บิทัล (orbital) จึงทำให้อนุมูลอิสระมีความเสถียรต่ำและไวต่อการเกิดปฏิกิริยากับโมเลกุลอื่นๆ (โอภา วัชรคุปต์, 2549) การเกิดปฏิกิริยาสามารถเกิดได้หลากหลายชนิดไม่มีความจำเพาะอีกทั้งกระทำตัวคล้ายเป็น secondary messengers ชักนำมาซึ่งกระบวนการต่างๆ ในระดับโมเลกุล (Paeck et al., 1991) ส่วน ROS หมายถึง โมเลกุลที่ไวต่อการเกิดปฏิกิริยาทั้งที่เป็นอนุมูลอิสระและที่ไม่เป็นอนุมูลอิสระของออกซิเจน ซึ่งเกิดขึ้นจากกระบวนการเมตาบอลิซึมต่างๆ ในร่างกาย ตัวอย่างเช่น ซุปเปอร์ออกไซด์แอนไอออน (superoxide anion, O_2^-) ไฮโดรเจนเปอร์ออกไซด์ (hydrogen peroxide, H_2O_2) อนุมูลไฮดรอกซิล (hydroxyl radical, HO^\cdot) ซิงเกิลออกซิเจน (singlet oxygen, 1O_2) อนุมูลลิพิดเปอร์ออกไซด์ (lipid peroxy radical, LOO^\cdot) อนุมูลอัลคิลเปอร์ออกไซด์ (alkylperoxy radical, LO^\cdot) (Halliwell et al., 1995) เกี่ยวข้องกับปฏิกิริยาทางชีวภาพหลายอย่างในร่างกายในภาวะปกติร่างกายจะสร้างอนุมูลอิสระในอัตราที่เป็นปกติและเป็นไปในแนวทางที่มีประโยชน์ต่อร่างกาย แต่ในภาวะที่มีการสร้างอนุมูลอิสระขึ้นมามากเกินไปความสามารถของกระบวนการต้านออกซิเดชัน หรือการลดลงของสารต้านออกซิเดชันทำให้เกิดภาวะไม่สมดุลระหว่างสารต้านออกซิเดชันและสารอนุมูลอิสระก่อให้เกิดภาวะเครียดจากออกซิเดชัน (oxidative stress) ซึ่งเป็นอันตรายต่อเซลล์และก่อให้เกิดพยาธิสภาพต่างๆ มากมาย เช่น โรคเกี่ยวกับระบบหัวใจและหลอดเลือด มะเร็ง โรคที่เกี่ยวข้องกับระบบประสาท โรคเบาหวาน การอักเสบและการแก่ชรา (โอภา วัชรคุปต์, 2549; Aruoma, 1994)

สารต้านออกซิเดชันมีบทบาทสำคัญต่อการป้องกันเนื้อเยื่อจากการทำลายของอนุมูลอิสระ ซึ่งเกิดขึ้นตลอดเวลาในกระบวนการเมตาบอลิซึมของร่างกาย (Gutteridge, Halliwell, 2000) จึงจำเป็นที่เราจะต้องได้รับสารต้านออกซิเดชันจากภายนอก เป็นที่ทราบกันดีว่าพืชเป็นแหล่งของสารที่มีฤทธิ์ต้านอนุมูลอิสระและสารจำพวกฟีนอล (phenolic compounds) เป็นสารกลุ่มใหญ่ที่พบมากในพืช ตัวอย่างของสารกลุ่มนี้ได้แก่ สารจำพวก flavonoids ที่มี catechol เป็นองค์ประกอบ stilbenes และ tannins ซึ่งโครงสร้างหลักประกอบด้วย aromatic ring แทนที่ด้วย hydroxy group กลไกของสารจำพวกฟีนอลที่แสดงฤทธิ์ต้านอนุมูลอิสระ คือเมื่อมีอนุมูลอิสระมาดึงอิเล็กตรอนไป แต่ในโครงสร้างมีอิเล็กตรอนหนาแน่นจึงสามารถเกิดการเคลื่อนย้ายอิเล็กตรอนไปทั่วโครงสร้าง (delocalization) ทำให้โครงสร้างเสถียรไม่เกิดเป็นอนุมูลอิสระต่อไป (Pietta, 2000) โดยทำหน้าที่จับหรือฟอร์มพันธะโคออร์ดิเนตกับโลหะหนัก (chelating agent) เช่น ทองแดงและเหล็ก ซึ่งมีบทบาทสำคัญในการกระตุ้นการสร้างรวมทั้งปฏิกิริยาถูกโซ่ของอนุมูลอิสระ ทำหน้าที่หยุดปฏิกิริยาถูกโซ่ (chain breaking antioxidant) ในการยับยั้งหรือขจัดอนุมูลอิสระ เช่น lipid alkoxyl และ peroxy radicals เป็นต้น โดยทำหน้าที่เป็นตัวให้ไฮโดรเจนแก่อนุมูลเหล่านั้น ซึ่งฤทธิ์ต้านออกซิเดชันของสารในกลุ่มของกรดฟีนอลิกและเอสเทอร์ของกรดฟีนอลิกจะขึ้นกับจำนวนและตำแหน่งของหมู่ไฮดรอกซิลในโมเลกุล (โอภา วัชรคุปต์, 2549)

นอกจากนี้ยังมีรายงานการศึกษาถึงความสัมพันธ์ของสารประกอบฟีนอลิกกับความสามารถรวมในการต้านอนุมูลอิสระในพืชด้วยวิธี FRAP และ TEAC พบว่ามีความสัมพันธ์กันในเชิงบวก กล่าวคือถ้ามีสารประกอบฟีนอลิกสูงก็จะมีค่าความสามารถรวมในการต้านอนุมูลอิสระสูงและถ้ามีสารประกอบฟีนอลิกต่ำก็มีค่าความสามารถรวมในการต้านอนุมูลอิสระต่ำร่วมด้วย (นันทน์ภัส เต็มวงศ์, 2551; Krpan et al., 2009)

1. ฤทธิ์ต้านออกซิเดชันของพืชสกุล *Murdannia*

M. bracteata (หญ้าปักกิ่ง) มีปริมาณสารประกอบฟีนอลิก 74.61 ± 6.36 และ 55.78 ± 2.35 มิลลิกรัม/กรัมของสารสกัด เทียบกับ ferulic acid เมื่อสกัดด้วยเมทานอลและน้ำตามลำดับ โดยสารสกัดด้วยเมทานอลมีความสามารถในการกำจัดอนุมูลอิสระ DPPH[•] ดีกว่าสารสกัดด้วยน้ำ คือมีค่า $EC_{50} = 246.90 \pm 16.75$ และ 620.97 ± 63.39 ไมโครกรัม/มิลลิลิตร เช่นเดียวกับค่าความสามารถในการเป็น Reducing agent เมื่อทำการทดสอบด้วยวิธี FRAP (0.66 และ 0.48 mmole Fe^{2+} / mg extract) ส่วนสารสกัดด้วยน้ำ พบว่ามีความสามารถในการยับยั้งปฏิกิริยาฟิตเพอร์ออกซิเดชันด้วยวิธี TBARS ดีกว่าสารสกัดด้วยเมทานอล ($EC_{50} = 1.51 \pm 0.076$ และ 2.00 ± 0.090 มิลลิกรัม / มิลลิลิตร ตามลำดับ) (ชารินทร์ สีปาละ และคณะ, 2551) นอกจากนี้ สารแบลคทาโนไลด์เอ สารแบลคทาโนไลด์บีและไอโซไวเทกซินที่สกัดได้จากสมุนไพรหญ้าปักกิ่งสามารถยับยั้งไนตริกออกไซด์ (nitric oxide, NO) และสารแบลคทาโนไลด์เอสามารถยับยั้งการทำงานของเอนไซม์ไนตริก ออกไซด์ซินเทส (inducible nitric oxide synthase, iNOS) จากเซลล์แมกโครฟาจ (macrophages) เมื่อกระตุ้นด้วยสารลิโปโพลีแซคคาไรด์ (lipopolysaccharides) ซึ่ง iNOS เป็นเอนไซม์ที่มีบทบาทสำคัญในการผลิตไนตริกออกไซด์ในสภาวะการอักเสบ (Wang et al., 2007)

M. loriformis (ผักลิ้มผัวใหญ่) มีปริมาณสารประกอบฟีนอลิก 37.95 ± 4.16 และ 56.26 ± 2.27 มิลลิกรัม/กรัมของสารสกัด เทียบกับ ferulic acid เมื่อสกัดด้วยเมทานอลและน้ำตามลำดับ โดยสารสกัดด้วยเมทานอลมีความสามารถในการกำจัดอนุมูลอิสระ DPPH[•] ดีกว่าสารสกัดด้วยน้ำ คือมีค่า $EC_{50} = 408.80 \pm 18.01$ และ 427.12 ± 89.10 ไมโครกรัม/มิลลิลิตร เช่นเดียวกับค่าความสามารถในการเป็น reducing agent เมื่อทำการทดสอบด้วยวิธี FRAP (0.57 และ 0.43 mmole Fe^{2+} / mg extract) ส่วนสารสกัดด้วยน้ำพบว่ามีความสามารถในการยับยั้งปฏิกิริยาฟิตเพอร์ออกซิเดชันด้วยวิธี TBARS ดีกว่าสารสกัดด้วยเมทานอล ($EC_{50} = 1.61 \pm 0.071$ และ 2.27 ± 0.149 มิลลิกรัม / มิลลิลิตร ตามลำดับ) (ชารินทร์ สีปาละ และคณะ, 2550; 2551)

M. nudiflora (กินกุ่มน้อย) มีปริมาณสารประกอบฟีนอลิก 16.31 ± 1.68 และ 37.91 ± 1.80 มิลลิกรัม/กรัมของสารสกัด เทียบกับ ferulic acid เมื่อสกัดด้วยเมทานอลและน้ำตามลำดับ โดยสารสกัดด้วยเมทานอลมีความสามารถในการกำจัดอนุมูลอิสระ DPPH[•] ดีกว่าสารสกัดด้วยน้ำ คือมีค่า $EC_{50} = 804.16 \pm 55.84$ และ 1124.68 ± 42.09 ไมโครกรัม/มิลลิลิตร เช่นเดียวกับค่าความสามารถในการเป็น reducing agent เมื่อทำการทดสอบด้วยวิธี FRAP (0.46 และ 0.35 mmole Fe^{2+} / mg extract) ส่วนสารสกัดด้วยน้ำพบว่ามีความสามารถในการยับยั้งปฏิกิริยาฟิตเพอร์ออกซิเดชันด้วยวิธี TBARS ดีกว่าสารสกัดด้วยเมทานอล ($EC_{50} = 1.09 \pm 0.065$ และ 2.37 ± 0.220 มิลลิกรัม/มิลลิลิตร ตามลำดับ) (ชารินทร์ สีปาละ และคณะ, 2550; 2551)

2. การวิเคราะห์ความสามารถของสารต้านออกซิเดชันในหลอดทดลอง

การวิเคราะห์ความสามารถของสารต้านออกซิเดชันมี 2 กลไก คือการวิเคราะห์จากการส่งผ่านอิเล็กตรอนเดี่ยว (electron transfer, ET หรือ SET) เป็นการวิเคราะห์หาความสามารถในการส่งผ่านอิเล็กตรอนไป

รีดิวซ์สารอื่น ยกตัวอย่างแบบการทดลองในกลไกนี้ ได้แก่ วิธี 2,2-diphenyl-1-picrylhydrazyl (DPPH) วิธี ferric reducing antioxidant power (FRAP) และการหาปริมาณทั้งหมดของสารประกอบฟีนอลิก (Folin-Ciocalteu) และการส่งผ่านอะตอมไฮโดรเจน (hydrogen atom transfer, HAT) เป็นการวัดความสามารถของสารต้านออกซิเดชัน ในการกำจัดอนุมูลอิสระ โดยการให้อะตอมไฮโดรเจน ยกตัวอย่างแบบการทดลองในกลไกนี้ ได้แก่ การยับยั้ง ลิพิดเปอร์ออกซิเดชันด้วยวิธี thiobarbituric acid reactive substance (TBARS) (โอภา วัชรคุปต์, 2549) โดยหลักการของแต่ละวิธีมีรายละเอียดดังนี้

DPPH assay อนุมูลอิสระ 2,2-diphenyl-1-picrylhydrazyl (DPPH[•]) เป็นอนุมูลอิสระที่เสถียร เมื่อละลายในเมทานอลจะมีสีม่วงเข้มและมีค่าการดูดกลืนแสงที่ความยาวคลื่น 515 นาโนเมตร สารต้านออกซิเดชันที่มีความสามารถให้อิเล็กตรอนแก่อนุมูลอิสระ DPPH[•] จะทำให้ความเข้มของสีสารละลาย DPPH ลดลงแล้วเปลี่ยนจากสีม่วงเป็นสีเหลืองอ่อนมีผลทำให้ค่าการดูดกลืนแสงที่ความยาวคลื่น 515 นาโนเมตร ลดลง (Bondet et al., 1997) ข้อดีของการตรวจวัดฤทธิ์ต้านอนุมูลอิสระโดยวิธี DPPH assay คือเป็นวิธีที่ง่ายไม่ยุ่งยาก และใช้เวลาน้อยและสามารถประยุกต์ใช้กับเครื่องสเปกโตรโฟโตมิเตอร์ หรือเครื่องไมโครเพลทรีดเดอร์ (microplate reader) ได้ ซึ่งทำให้ประหยัดสารเคมีสะดวกและรวดเร็ว ส่วนข้อเสีย คืออนุมูลอิสระ DPPH[•] มีความคงตัวไม่ไวต่อปฏิกิริยาเหมือนกับอนุมูลที่เกิดในร่างกาย จึงไม่สามารถแยกแยะจัดอันดับอนุมูลอิสระที่มีความไวสูงได้ นอกจากนี้โครงสร้างทางเคมีของ DPPH[•] ที่อิเล็กตรอนเดี่ยวจะถูกบดบังด้วยวงเบนซีน 3 วงซึ่งอยู่ภายในสุดของโครงสร้างและหมู่ไนโตรทำให้สารต้านออกซิเดชันที่มีฤทธิ์แรง แต่มีโมเลกุลขนาดใหญ่บางสารไม่สามารถเข้าไปทำปฏิกิริยากำจัดอนุมูลอิสระ หรือเกิดขึ้นช้ากว่าความเป็นจริงทั้งที่สารต้านออกซิเดชันมีฤทธิ์ดีในการกำจัดอนุมูลอิสระเปอร์ออกไซด์ ดังนั้นวิธีนี้จึงไม่สามารถพิสูจน์ความสามารถของสารต้านออกซิเดชันที่ดีที่สุดจำเป็นต้องมีวิธีวัดวิธีอื่นมาสนับสนุน (โอภา วัชรคุปต์, 2549)

FRAP assay เป็นการทดสอบโดยตรงเพื่อวัดความสามารถในการเป็นสารต้านออกซิเดชันรวมทั้งหมด (total antioxidant capacity) โดยอาศัยหลักการที่ว่าสารต้านออกซิเดชันในร่างกายทำหน้าที่โดยการให้อิเล็กตรอน ซึ่งจัดเป็นสารรีดิวซ์และมีคุณสมบัติเป็นสารจับโลหะ หลักการการทดสอบของวิธีนี้ คือภายใต้สภาวะความเป็นกรดสารประกอบเชิงซ้อนของ Ferric tripyridyl triazine (Fe^{3+} - TPTZ) จะถูกรีดิวซ์ได้เป็น ferrous tripyridyl triazine (Fe^{2+} - TPTZ) ซึ่งให้สารละลายสีน้ำเงินและสามารถวัดค่าการดูดกลืนแสงที่ความยาวคลื่น 593 นาโนเมตร ดังนั้นสารใดให้อิเล็กตรอนเพื่อเปลี่ยน Fe^{3+} - TPTZ ไปเป็น Fe^{2+} - TPTZ ได้จะมีค่าการดูดกลืนแสงมากขึ้นแสดงว่าสารนั้นมีความสามารถในการต้านออกซิเดชันโดยการรีดิวซ์เหล็ก Fe^{3+} เป็น Fe^{2+} (Benzie, Strain, 1996) สำหรับข้อดีของวิธีนี้ คือเป็นวิธีที่ง่ายใช้เวลาไม่แพงและไม่ต้องใช้เครื่องมือพิเศษสามารถประยุกต์ใช้กับเครื่องไมโครเพลทรีดเดอร์ได้ ส่วนข้อเสีย คือไม่สามารถวัดสารต้านออกซิเดชันที่กำจัดอนุมูลอิสระโดยการให้อะตอมไฮโดรเจนได้และปฏิกิริยาเกิดที่ pH ต่ำ ซึ่งความเป็นกรดจะลดค่าความต่างศักย์ในการแตกตัวของอออนทำให้เร่งการส่งผ่านอิเล็กตรอนและเพิ่มค่าความต่างศักย์รีดอกซ์ (โอภา วัชรคุปต์, 2549)

Folin-Ciocalteu assay การหาปริมาณทั้งหมดของสารประกอบฟีนอลิกที่มีความสามารถเป็นสารรีดิวซ์ หรือมีคุณสมบัติเป็น metal chelators ในกลไกการทดลองเป็นแบบปฏิกิริยารีดอกซ์ ซึ่งถูกพัฒนามาจากการวิเคราะห์ปริมาณสาร tyrosine (Folin, Ciocalteu, 1927) โดยใช้ molybdotungstate reagent ไปทำปฏิกิริยากับสารประกอบฟีนอลิก ผลิตภัณฑ์ที่ได้จากปฏิกิริยามีสีน้ำเงิน ซึ่งมีค่าการดูดกลืนแสงที่ความยาวคลื่นในช่วง

745-750 นาโนเมตร (Singleton, Rossi, 1965) โดยใช้ ferulic acid เป็นสารมาตรฐานของสารประกอบฟีนอลิก (Velioglu et al., 1998) ข้อดี เป็นวิธีที่ง่าย สะดวก มีการรบกวนของสารที่มีสีในตัวอย่างได้น้อยที่การดูดกลืนแสงของความยาวคลื่นที่ยาวและสามารถใช้เป็นวิธีมาตรฐานในการวิเคราะห์ความสามารถของสารต้านออกซิเดชันจากธรรมชาติหลากหลายชนิดและเป็นวิธีมาตรฐานที่ยอมรับในการวิเคราะห์สารต้านออกซิเดชันจากอาหารทั่วไป ข้อเสีย คือมีสารบางกลุ่มที่ทำให้ค่าที่วัดได้ผิดพลาด เช่น น้ำตาล เอมีน ซัลเฟอร์ไดออกไซด์ วิตามินซี สารกลุ่ม enediols และ reductones กรดอินทรีย์และ Fe (II) สามารถทำปฏิกิริยากับ folin-ciocalteu reagent ได้สีน้ำเงินทำให้ค่าที่วัดได้มากกว่าความเป็นจริงและไม่สามารถทดสอบสารต้านออกซิเดชันที่ละลายในไขมันได้ เนื่องจากวิธีนี้ถูกพัฒนาเพื่อวิเคราะห์สารต้านออกซิเดชันที่มีขั้ว หรือ สามารถละลายได้ในเฟสน้ำ อย่างไรก็ตามวิธีนี้ไม่จัดเป็นวิธีการวัดฤทธิ์ต้านออกซิเดชันโดยตรง แต่เป็นการวัดระดับสารประกอบฟีนอลิกซึ่งเป็นสารต้านออกซิเดชัน

TBARS assay หลักการ คือ ปฏิกิริยาลิปิดเปอร์ออกซิเดชัน (lipid peroxidation) เป็นกระบวนการทำลาย polyunsaturated fatty acid (PUFA) โดยปฏิกิริยาออกซิเดชันเริ่มต้นโดยอนุมูลอิสระไปตั้งอะตอมไฮโดรเจนจากกรดไขมันไม่อิ่มตัวทำให้โมเลกุลของไขมันเปลี่ยนเป็นอนุมูลอิสระของไขมัน คือ lipid radical (L) แล้วทำปฏิกิริยาอย่างรวดเร็วกับออกซิเจนเป็น lipid peroxy radical (LO₂) ซึ่งจะไปตั้งอะตอมไฮโดรเจนจากกรดไขมันไม่อิ่มตัวชนิดอื่น ๆ สุดท้ายทำให้เกิด linoleic acid hydroperoxide (LOOH) ที่มีผลทำให้เกิดสารประกอบเชิงซ้อนต่างๆ เช่น มาลอนไดอัลดีไฮด์ (malondialdehyde, MDA) ซึ่งสามารถทำปฏิกิริยากับ thiobarbituric acid (TBA) แล้วได้ thiobarbituric acid reactive substances (TBARS) มีสีชมพูและดูดกลืนแสงที่ความยาวคลื่น 532 นาโนเมตร ซึ่งการตรวจวัด TBARS นั้นจะเป็นตัวบ่งชี้ถึงการเกิดสภาวะลิปิดเปอร์ออกซิเดชัน สำหรับการประเมินสภาวะการเกิดปฏิกิริยานี้ทำได้โดยนำตัวอย่างที่ต้องการทดสอบมาทำปฏิกิริยากับ TBA ภายใต้สภาวะกรด (pH ≤ 3) ที่อุณหภูมิสูงได้เป็นสารประกอบเชิงซ้อน TBARS และนำไปวัดค่าการดูดกลืนแสง (Okawa et al., 1979)

วิธีดำเนินการศึกษา

1. ตัวอย่างที่ใช้ศึกษา อุปกรณ์และสารเคมี

(1) ตัวอย่างที่ใช้ศึกษา

ส่วนเนื้อดินที่ไม่ใช้ในการสืบพันธุ์และส่วนใต้ดินของพืชแต่ละชนิดที่เก็บในช่วงฤดูกาลออกดอกติดผลรายละเอียดดังตารางที่ 1

ตารางที่ 13 แสดงรายละเอียดตัวอย่างที่ใช้ในการศึกษาฤทธิ์ต้านออกซิเดชันและอ้างอิง

Samples	Code	Color of flower/ population	Locality	Collection date	Vouchers' no.
<i>M. gigantea</i>	Mg (w1)	white / larger plant	Pha Taem forest, Ubonratchathani Province.	22/08/2009	SK, OC & TT 70
<i>M. gigantea</i>	Mg (w2)	white / larger plant	Tup Phaya Suea waterfall, Khon Kaen Province.	27/06/2009	SK, OC & TT 41
<i>M. gigantea</i>	Mg (ws)	white / smaller plant	Ban Chom Manee, Nakhon Phanom Province.	09/08/2009	SK, OC & TT 58
<i>M. gigantea</i>	Mg (pwm)	purplish white / moderate	Phu Rua forest, Loei Province.	27/07/2009	SK, OC & TT 54
<i>M. gigantea</i>	Mg (vm)	violet / moderate	Phu Phan forest, Sakon Nakhon Province.	20/08/2009	SK, OC & TT 66
<i>M. macrocarpa</i>	Mm	violet	Phu Kradueng forest, Loei Province.	29/10/2009	TT, OC & SK 1205
<i>M. simplex</i>	Ms1	violet	Doi Suthep-Pui forest, Chiang Mai Province.	15/08/2009	SK, OC & TT 59
<i>M. simplex</i>	Ms2	violet	Doi Inthanon forest, Chiang Mai Province.	15/10/2009	TT, OC & SK 1194

SK = Suceerut Khaewsart, OC = Orasa Chaichumporn and TT = Thaweesak Thitimetharoch

(2) อุปกรณ์และเครื่องมือ

Evaporator (EYELE, Japan), Lyophilizer (Flexi-Dry, USA), 96-well microtiter plate, Microplate reader (Bio-Rad, Model 680), Autopipette ขนาด 20, 100 และ 1000 ไมโครลิตร, Centrifuge, Homogenizer, Eppendorf tube ขนาด 1.5 มิลลิลิตร, Water bath (PolyScience, Switzerland)

(3) สารเคมี

Ferulic acid, DPPH (2,2 – Diphenyl-1-picrylhydrazyl) (Sigma-Aldrich, Germany), 2,4,6-Tripyridyl-s-Triazine (TPTZ) (Sigma-Aldrich, Germany), Ferric chloride, Ferrous sulfate (Aldrich, Germany), Sodium dodecyl sulfate (SDS), 2- Thiobarbituric acid (TBA), Butylated hydroxytoluene (BHT) (Fluka, Switzerland), Ethylene diaminetetra acetic (EDTA), 6-hydroxy-2,5,7,8-tetramethylchroman-2-carboxylic acid (Trolox) (Sigma-Aldrich, Germany), Ascorbic acid (AJAX CHEMICALS, Australia)

2. ขั้นตอนการศึกษา

(1) การเตรียมสารสกัด

นำส่วนเหนือดินที่ไม่ใช้ในการสืบพันธุ์และส่วนใต้ดินของพืชแต่ละชนิดที่ผ่านการอบแห้งที่อุณหภูมิ 50 องศาเซลเซียส เป็นเวลา 4-5 วัน (ตารางที่ 13) มา 5 กรัมสกัดด้วยเมทานอลและน้ำอย่างละ 100 มิลลิลิตร นำไปเขย่า 2 ชั่วโมง จากนั้นนำมารองส่วนที่เป็นของเหลวที่สกัดด้วยน้ำมาระเหยเอาน้ำออกด้วยเครื่องระเหิดแห้ง (Lyophilizer) ส่วนของเหลวที่สกัดด้วยเมทานอลนำไประเหยแห้งด้วยเครื่องระเหยแห้ง (Evaporator) ที่อุณหภูมิ 50 องศาเซลเซียส เก็บในหม้อสุญญากาศ

(2) การหาค่าปริมาณทั้งหมดของสารประกอบฟีนอลิก (Folin-Ciocalteu assay)

การหาปริมาณทั้งหมดของสารประกอบฟีนอลิกที่มีความสามารถเป็นสารรีดิวซ์ หรือมีคุณสมบัติเป็น metal chelators ในกลไกการทดลองเป็นแบบปฏิกิริยารีดอกซ์ วิธีการทดลองดัดแปลงจาก Singleton, Rossi (1965) ทำการละลายสารสกัดของพืชทั้ง 3 ชนิด ด้วยเมทานอลและน้ำเพื่อให้ได้ความเข้มข้น 1 มิลลิกรัม/มิลลิลิตร ทำการเตรียมสารมาตรฐานฟีนอลิก ferulic acid ในน้ำและเมทานอลที่มีความเข้มข้นต่างๆ (ความเข้มข้นตั้งแต่ 15-250 ไมโครกรัม/มิลลิลิตร) เจือจางสารละลาย folin-ciocalteu reagent (1:10 ด้วยน้ำ)

ทำการทดลองโดยเติม 200 ไมโครลิตร ของสารสกัดและ 200 ไมโครลิตร ของสารมาตรฐาน ferulic acid แต่ละความเข้มข้นลงในหลอดทดลองแต่ละหลอดเติม 1.5 มิลลิลิตร ของสารละลาย folin-ciocalteu reagent เข้าให้เข้ากันรอให้เกิดปฏิกิริยาที่สมบูรณ์โดยทิ้งไว้ 5 นาที จากนั้นเติม 1.5 มิลลิลิตร ของ sodium carbonate (60 กรัม/ลิตร) ทิ้งไว้ให้เกิดปฏิกิริยาที่สมบูรณ์โดยบ่มที่อุณหภูมิห้องเป็นเวลา 90 นาที ดูดสารละลายในหลอดทดลอง 200 ไมโครลิตร ใส่ 96-well plate นำไปวัดค่าดูดกลืนแสงที่ความยาวคลื่น 750 นาโนเมตร ด้วยเครื่องไมโครเพลทรีดเคอร์ บันทึกผลทำการทดลองของการทดสอบซ้ำ 4 ครั้ง ใช้น้ำและเมทานอลเป็นตัวอย่างควบคุม สร้างกราฟมาตรฐานของ ferulic acid และนำค่าดูดกลืนแสงที่ได้จากการวัดของสารสกัดนำไปเทียบกับกราฟมาตรฐาน ferulic acid การหาปริมาณทั้งหมดของสารประกอบฟีนอลิกในสารสกัดเทียบกับ ferulic acid (ferulic acid equivalents, FA) หน่วย มิลลิกรัม/กรัมของสารสกัด คำนวณได้จากสมการ

$$C = c * V/m$$

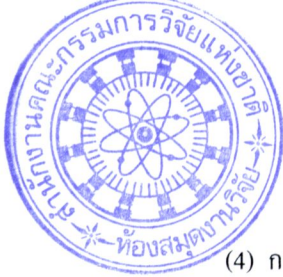
- เมื่อ C คือ ปริมาณทั้งหมดของสารประกอบฟีนอลิกในสารสกัด (มิลลิกรัม/กรัม ของสารสกัด)
 c คือ ความเข้มข้นของ ferulic acid ที่ได้จากรูปของสารสกัด (มิลลิกรัม/มิลลิลิตร)
 V คือ ปริมาตรของสารสกัด (มิลลิลิตร)
 m คือ น้ำหนักของสารสกัด (กรัม)

(3) การทดสอบฤทธิ์ในการจับกับสารอนุมูลอิสระที่เสถียร (DPPH assay)

การทดสอบฤทธิ์ในการจับกับสารอนุมูลอิสระที่เสถียร DPPH สารใดก็ตามที่มีความสามารถในการจับกับอนุมูลอิสระ DPPH นี้ได้จะส่งผลให้ค่าการดูดกลืนแสงที่วัดได้ลดลง วิธีการทดสอบดัดแปลงจาก Saánchez-Moreno et al. (1999) และ Li et al. (2005) โดยทำการละลายสารสกัดของพืชแต่ละชนิดด้วยเมทานอลและน้ำเพื่อให้ได้ความเข้มข้นตั้งแต่ 78.125 ถึง 5,000 ไมโครกรัม/มิลลิลิตร เตรียมสารละลาย DPPH ละลายในเมทานอลให้ได้ความเข้มข้น 0.1 มิลลิโมลาร์ ดูดสารสกัด 50 ไมโครลิตร แล้วดูดสารละลาย DPPH ปริมาตร 150 ไมโครลิตรลงใน 96-well plate ทิ้งให้เกิดปฏิกิริยาสมบูรณ์ในที่มืดเป็นเวลา 20 นาที นำไปวัดค่าดูดกลืนแสงที่ความยาวคลื่น 490 นาโนเมตร ด้วยเครื่องไมโครเพลทรีดเคอร์ สำหรับสารต้านออกซิแดนซ์ที่ใช้เปรียบเทียบความสามารถในการจับอนุมูลอิสระคือ trolox และรายงานค่าเป็น IC₅₀ ที่คำนวณได้จากสมการเส้นตรงที่ได้จากกราฟระหว่างความเข้มข้นและ % Scavenging

$$\% \text{ Scavenging} = \{[(D-C) - (T - (C+B))] / (D-C)\} * 100$$

- เมื่อ B คือ ค่าดูดกลืนแสงของสารสกัดที่ความเข้มข้นต่างๆ + เมทานอล
 C คือ ค่าดูดกลืนแสงของเมทานอล
 D คือ ค่าดูดกลืนแสงของสารละลาย DPPH
 T คือ ค่าดูดกลืนแสงของสารละลาย DPPH + สารสกัด



(4) การทดสอบความสามารถในการเป็นสารต้านออกซิเดชันรวมทั้งหมด (Ferric reducing antioxidant power, FRAP assay)

วิธีการตัดแปลงจาก Benzie, Strain et al. (1996) ทำการละลายสารสกัดของพืชทั้ง 3 ชนิด ด้วยเมทานอลและน้ำเพื่อให้ได้ความเข้มข้น 0.5 มิลลิกรัม/มิลลิลิตร เนื่องจากเป็นความเข้มข้นที่ได้ทดลอง ทำการศึกษาเบื้องต้นแล้วพบว่ามิผลรบกวนจากสีของสารสกัดน้อย เตรียมสารละลาย FRAP reagent [acetate buffer (300 มิลลิโมลาร์) : TPTZ (10 มิลลิโมลาร์ ใน 40 มิลลิโมลาร์ HCl) : FeCl_3 (20 มิลลิโมลาร์) ในอัตราส่วน 10 : 1 : 1] ทำการทดลองโดยดูดสารละลาย FRAP reagent 150 ไมโครลิตรและดูดสารสกัด 50 ไมโครลิตร แต่ละความเข้มข้นลงใน 96-well plate ทิ้งให้เกิดปฏิกิริยาที่สมบูรณ์เป็นเวลา 10 นาที แล้วนำไปวัดค่าดูดกลืนแสงที่ความยาวคลื่น 595 นาโนเมตร ด้วยเครื่องไมโครเพลทรีดเดอร์ แล้วบันทึกผลคำนวณความสัมพันธ์ความสามารถในการเป็นสารต้านออกซิเดชันรวมทั้งหมด โดยนำค่าดูดกลืนแสงที่ได้จากการวัดในแต่ละความเข้มข้นของสารสกัดเทียบกับสมการเส้นตรงของกราฟมาตรฐาน $\text{FeSO}_4 \cdot 7\text{H}_2\text{O}$ (ความเข้มข้นตั้งแต่ 15 ถึง 250 μM) ซึ่งจะได้หน่วยเป็น μM จากนั้นนำค่าที่ได้ไปคำนวณให้ได้หน่วยเป็น $\mu\text{mole/mg extract}$

(5) การทดสอบความสามารถในการยับยั้งปฏิกิริยาลิพิดเปอร์ออกซิเดชัน (TBARS Assay)

ทำการแยกสมองหนูซึ่งสมองหนูที่ใช้ในการศึกษาครั้งนี้ได้จากซากหนูเม้าท์ ที่ถูกกำจัดซากในโครงการทดลองทางวิทยาศาสตร์การแพทย์อื่นๆ เลือกเฉพาะซากหนูที่ใช้เป็นกลุ่มควบคุม โดยนำส่วนหัวมาตัดแยกเอาเฉพาะเนื้อเยื่อสมองส่วนหน้า (cerebrum) ที่มีขนาดใหญ่ที่สุดล้างด้วย ice cold normal saline ซับให้แห้งและเก็บไว้ที่อุณหภูมิ -20 องศาเซลเซียส จนกว่าจะทำการทดลอง

บดสมองหนูเป็นเนื้อเดียวกันกับ 5 มิลลิโมลาร์ phosphate buffer (pH 7.4) ด้วยเครื่องปั่นบด (homogenizer) วัดปริมาณโปรตีนด้วยวิธี lowry ในการวัดความสามารถในการยับยั้งปฏิกิริยาลิพิดเปอร์ออกซิเดชันของสารสกัดจะวัดปริมาณสารประกอบเชิงซ้อน thiobarbituric acid reactive substances (TBARS) วิธีการทดลองตัดแปลงจาก Mahakunakorn et al. (2004) และ Buege, Aust (1978) วิธีการทดลองทำการเติม 0.5 มิลลิลิตร ของสารละลายสมองหนูบด 0.9 มิลลิลิตร phosphate buffer (50 มิลลิโมลาร์, pH 7.4) 0.5 มิลลิลิตร FeSO_4 (0.01 มิลลิโมลาร์) 0.5 มิลลิลิตร ascorbic acid (0.1 มิลลิโมลาร์) และเติม 0.1 มิลลิลิตร ของสารสกัดที่ต้องการทดสอบแต่ละความเข้มข้น (ความเข้มข้นตั้งแต่ 156 ถึง 5,000 ไมโครกรัม/มิลลิลิตร) ลงไปในหลอดทดลองตามลำดับ จากนั้นนำไปบ่มที่อุณหภูมิ 37 องศาเซลเซียส ประมาณ 45 นาที เติม 50 ไมโครลิตร butylated hydroxytoluene (BHT) (0.1 มิลลิโมลาร์) เพื่อหยุดปฏิกิริยาออกซิเดชัน เติม 0.5 มิลลิลิตร EDTA (5 มิลลิโมลาร์) เพื่อลดผลรบกวนจากโลหะอื่นๆ และตกตะกอนโปรตีนด้วย 0.5 มิลลิลิตร 35 % perchloric acid นำไปปั่นเหวี่ยง 3000 รอบ/นาที เป็นเวลา 15 นาที ดูดสารละลายส่วนใสมาเติมด้วย 0.5 มิลลิลิตร 0.6% thiobarbituric acid ละลายในกรดอะซิติก จากนั้นบ่มที่อุณหภูมิ 90 องศาเซลเซียส ประมาณ 1 ชั่วโมง ทิ้งไว้ให้เย็นแล้วนำสารที่ได้มาวัดการดูดกลืนแสงที่ความยาวคลื่น 550 นาโนเมตร บันทึกผลโดยใช้ trolox เป็นสารมาตรฐาน (ความเข้มข้น 1 ถึง 50 ไมโครกรัม/มิลลิลิตร) ใช้น้ำและเมทานอลเป็นตัวอย่างควบคุม คำนวณหาความสามารถของสารสกัดแต่ละชนิดและสารต้านออกซิเดชันมาตรฐาน trolox ในการยับยั้งการเกิดปฏิกิริยาลิพิดเปอร์ออกซิเดชัน (% inhibition) จากนั้นนำค่า % inhibition และความเข้มข้นของสารสกัดไปสร้างกราฟแล้วหาค่า IC_{50} (mg/ml) จากสมการเส้นตรงที่ได้จากกราฟ

วิธีคำนวณการหาความสามารถของสารสกัดแต่ละชนิดในการยับยั้งการเกิดปฏิกิริยาฟิสิกัล เคมีหรือออกซิเดชัน (% inhibition) คำนวณได้จากสมการดังต่อไปนี้

$$\% \text{ inhibition} = [(OD_{\text{Blank}} - OD_{\text{Test}}) / OD_{\text{Blank}}] * 100$$

เมื่อ OD_{Blank} คือ ค่าดูดกลืนแสงของน้ำหรือเมทานอล

OD_{Test} คือ ค่าดูดกลืนแสงของตัวอย่างสารสกัด ที่นำมาศึกษา

(6) การวิเคราะห์ด้วยสถิติ

ทำการวิเคราะห์ข้อมูลความแปรปรวนทางเดียว (analysis of variance, ANOVA) ด้วยโปรแกรม SPSS (statistical package for social science, SPSS/PC+) version 10.1 โดยใช้วิธี Duncan's เปรียบเทียบความสามารถในการกำจัดอนุมูลอิสระและการต้านกระบวนการออกซิเดชันของพืชแต่ละชนิด ใช้วิธี T-Test ในการเปรียบเทียบระหว่างสารสกัดด้วยน้ำและเมทานอลและเปรียบเทียบระหว่างสารสกัดจากส่วนเหนือดินและส่วนใต้ดิน และใช้วิธี Pearson's correlation coefficient ในการหาค่าความสัมพันธ์ระหว่างปริมาณรวมของสารประกอบฟีนอลิกกับความสามารถในการกำจัดอนุมูลอิสระและการต้านการออกซิเดชัน ที่ระดับความเชื่อมั่น 95% (กำหนดระดับความมีนัยสำคัญทางสถิติ $p < 0.05$)

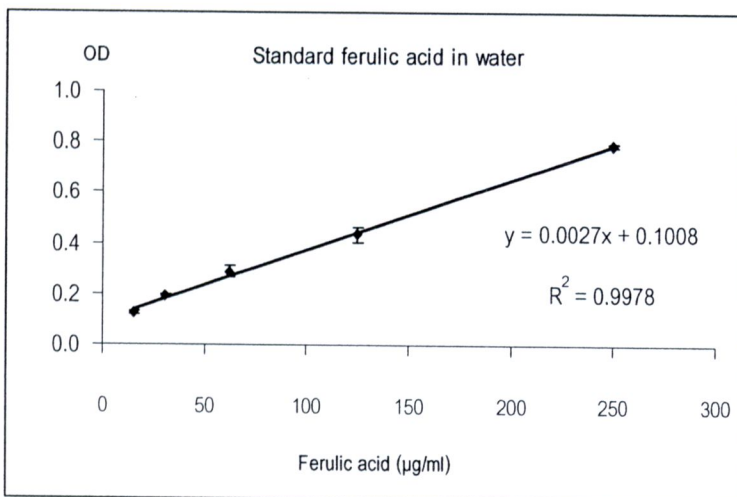
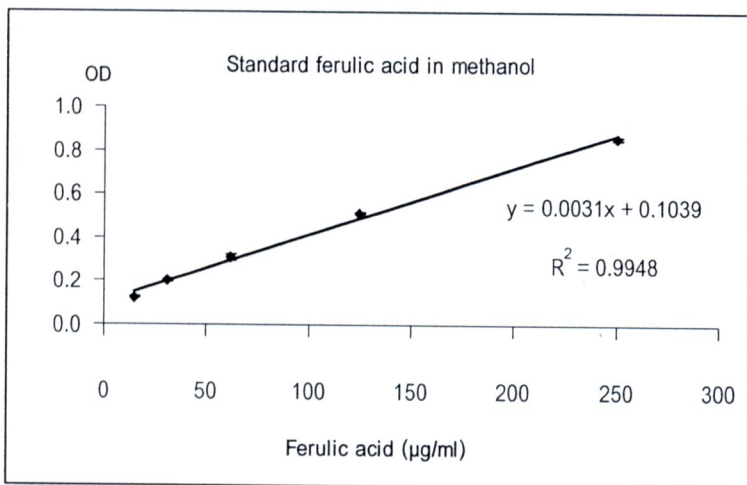
ผลการศึกษา

1. การหาค่าปริมาณทั้งหมดของสารประกอบฟีนอลิก (Folin-Ciocalteu assay)

ผลการศึกษาในการหาปริมาณรวมของสารประกอบฟีนอลิก (total phenolic contents, TPC) ในสารสกัดด้วยเมทานอลและน้ำจากส่วนเหนือดินและส่วนใต้ดินของ *Murdannia gigantea* [Mg (w1), Mg (w2), Mg (ws), Mg (pwm) และ Mg (vm)], *M. macrocarpa* (Mm) และ *M. simplex* (Ms2 และ Ms1) รายละเอียดแสดงในตารางที่ 13 และภาพที่ 1 ด้วยวิธี Folin-Ciocalteu โดยใช้สารมาตรฐาน ferulic acid เป็นสารมาตรฐานเปรียบเทียบและกราฟมาตรฐานของ ferulic acid แสดงในภาพที่ 20 พบว่าโดยทั่วไปแล้วสารสกัดจาก *M. gigantea* มี TPC มากที่สุดรองลงมาเป็น *M. simplex* และ *M. macrocarpa* ตามลำดับ (ตารางที่ 14 และ ภาพที่ 21-22) โดยพบว่า

- ส่วนเหนือดิน (ตารางที่ 14 และ ภาพที่ 22)
 - สารสกัดด้วยเมทานอลของพืชแต่ละชนิดมีค่า TPC แตกต่างกันอย่างมีนัยสำคัญทางสถิติ ($p < 0.05$) และมีค่าตั้งแต่ 31.71 ± 0.90 ถึง 115.90 ± 1.23 มิลลิกรัม/กรัมของสารสกัดเทียบกับ Ferulic acid โดยสารสกัด Mg (ws) มีค่าสูงสุดรองลงมาเป็น Mg (vm) > Mg (pwm) > Ms2 > Mg (w2) > Mg (w1) > Ms1 > Mm ตามลำดับ
 - สารสกัดด้วยน้ำของพืชแต่ละชนิดมีค่า TPC แตกต่างกันและมีค่าตั้งแต่ 14.94 ± 0.45 ถึง 102.31 ± 0.53 มิลลิกรัม/กรัมของสารสกัดเทียบกับ ferulic acid โดยสารสกัด Mg (ws) มีค่าสูงสุดรองลงมาเป็น Mg (w2) > Ms2 > Mg (pwm) > Mg (vm) > Mg (w1) > Ms1 > Mm ตามลำดับ

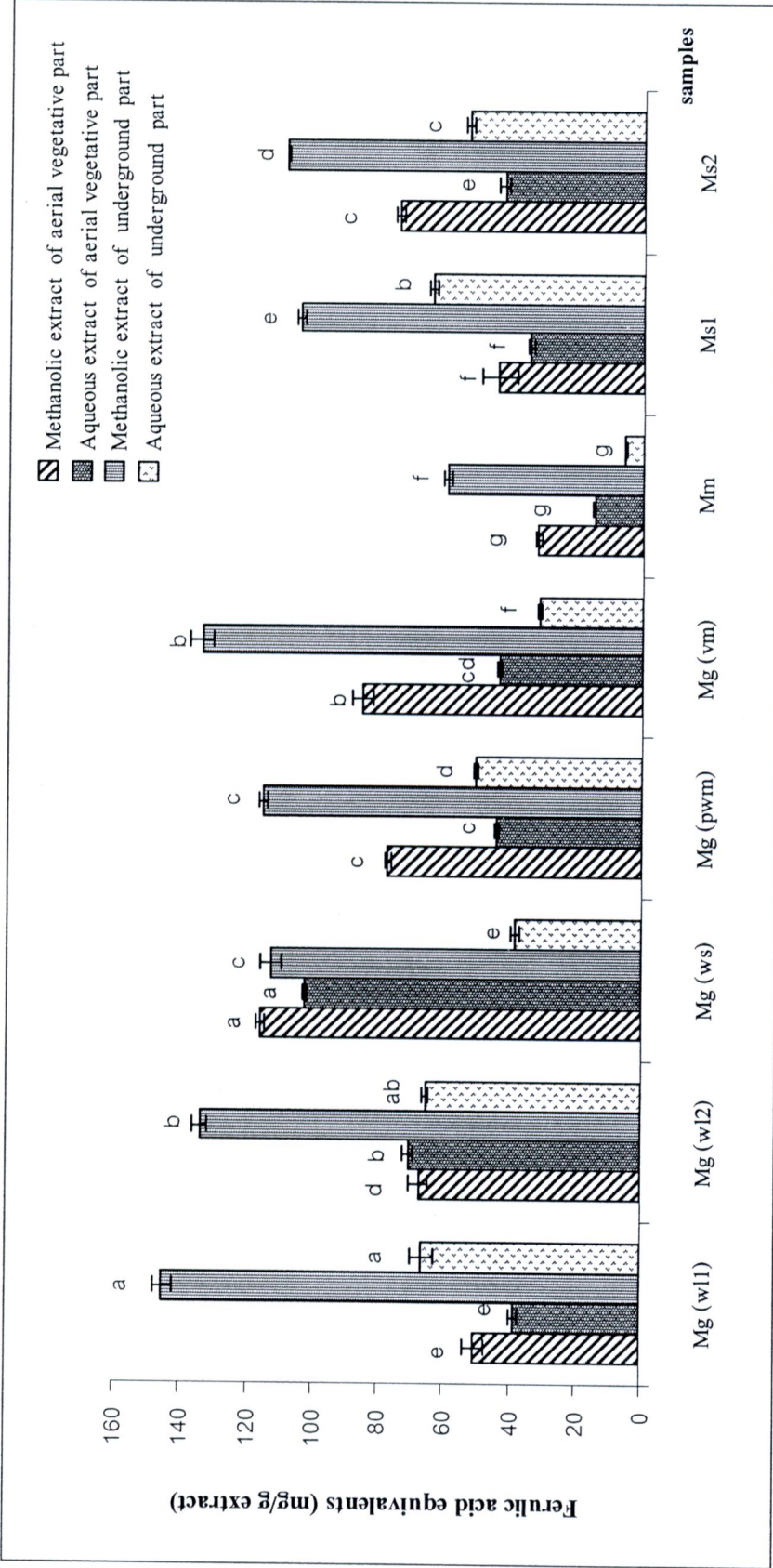
- ส่วนใต้ดิน (ตารางที่ 14 และ ภาพที่ 22)
 - สารสกัดด้วยเมทานอลของพืชแต่ละชนิดมีค่า TPC แตกต่างกันอย่างมีนัยสำคัญทางสถิติ ($p < 0.05$) และมีค่าตั้งแต่ 57.75 ± 2.69 ถึง 145.17 ± 2.97 มิลลิกรัม/กรัมของสารสกัดเทียบกับ ferulic acid โดยสารสกัด Mg (w11) ค่าสูงสุดรองลงมาเป็น Mg (vm) > Mg (w12) > Mg (pwm) > Mg (ws) > Ms2 > Ms1 > Mm ตามลำดับ
 - สารสกัดด้วยน้ำของพืชแต่ละชนิดมีค่า TPC แตกต่างกันอย่างมีนัยสำคัญทางสถิติ ($p < 0.05$) และมีค่าตั้งแต่ 5.46 ± 0.30 ถึง 66.44 ± 3.43 มิลลิกรัม/กรัมของสารสกัดเทียบกับ ferulic acid โดยสารสกัด Mg (w11) มีค่าสูงสุดรองลงมาเป็น Mg (w12) > Ms1 > Mg (pwm) > Ms2 > Mg (ws) > Mg (vm) > Mm ตามลำดับ



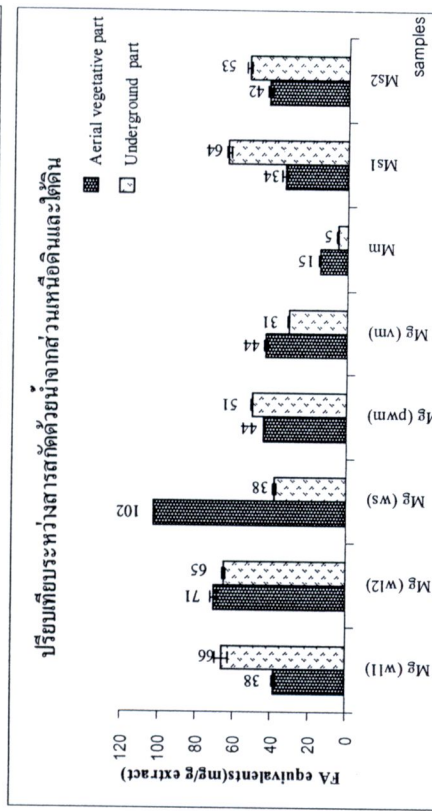
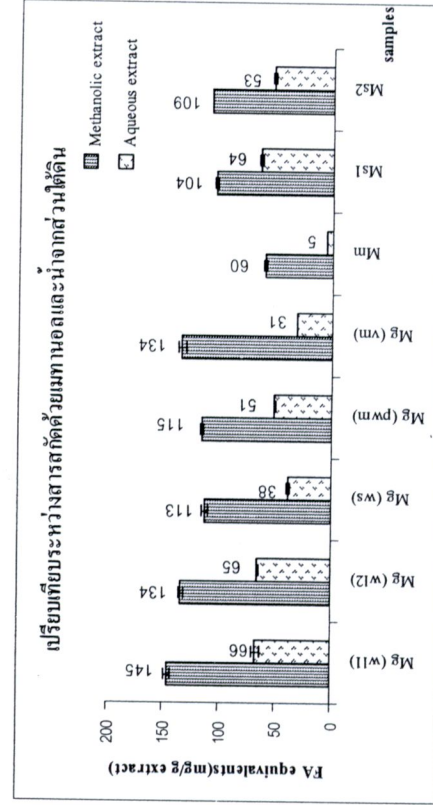
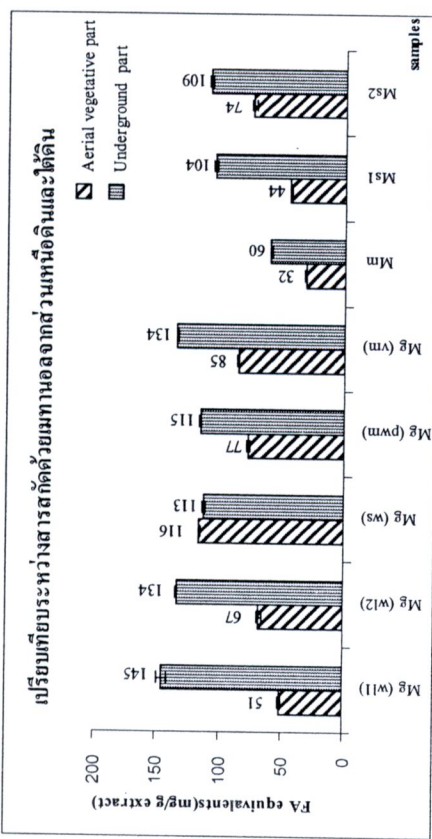
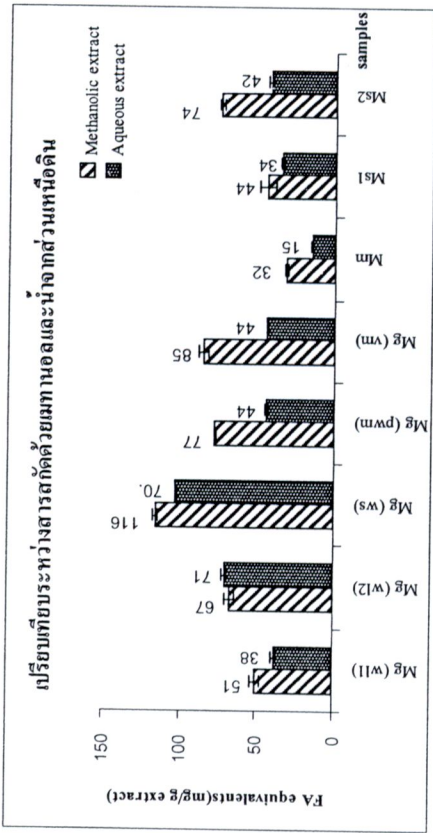
ภาพที่ 20 กราฟมาตรฐาน (calibration curve) ของ ferulic acid (ไมโครกรัม/มิลลิลิตร) ที่ค่าดูดกลืนแสงที่ความยาวคลื่น 750 นาโนเมตร

ตารางที่ 14 เปรียบเทียบปริมาณสารประกอบฟีนอลิกของสารสกัดด้วยเมทานอลและน้ำจากส่วนเหนือดินและส่วนใต้ดินของพืชแต่ละชนิด โดยแสดงค่า Mean \pm SD (n = 4)

Samples	Aerial vegetative part		Underground part	
	Methanolic extract	Aqueous extract	Methanolic extract	Aqueous extract
Mg (w11)	50.52 \pm 3.34	38.28 \pm 1.20	145.17 \pm 2.97	66.44 \pm 3.43
Mg (w12)	67.44 \pm 2.97	70.64 \pm 1.66	133.90 \pm 2.13	65.40 \pm 0.92
Mg (ws)	115.90 \pm 1.23	102.31 \pm 0.53	112.75 \pm 3.05	38.21 \pm 1.18
Mg (pwm)	77.17 \pm 0.78	44.00 \pm 0.87	115.15 \pm 1.46	50.81 \pm 0.63
Mg (vm)	85.09 \pm 3.34	43.69 \pm 0.70	134.01 \pm 3.31	31.33 \pm 0.42
Mm	31.71 \pm 0.90	14.94 \pm 0.45	59.52 \pm 1.29	5.46 \pm 0.30
Ms1	44.00 \pm 5.32	34.25 \pm 1.05	104.23 \pm 1.29	63.94 \pm 1.10
Ms2	74.11 \pm 1.30	53.17 \pm 1.60	108.51 \pm 0.57	42.27 \pm 1.20



ภาพที่ 21 แสดงค่า Mean \pm SD (n = 4) เปรียบเทียบปริมาณสารประกอบฟีนอลิกของสารสกัดด้วยเมทานอลและน้ำจากส่วนเหนือดินและส่วนใต้ดินของ *Murdannia Gigantea* [ดอกขาวต้น ขนาดใหญ่: Mg (w1) และ Mg (w2), ดอกขาวต้นขนาดเล็ก: Mg (ws), ดอกขาวโคนม่วง: Mg (pwm) และ ดอกม่วง: Mg (vm)], *M. macrocarpa* (Mm3) และ *M. simplex* (Ms1 และ Ms2) และตัวอักษรบนภาพที่แตกต่างกันหมายความว่ามีความแตกต่างกันอย่างมีนัยสำคัญทางสถิติ $p < 0.05$ เปรียบเทียบในแต่ละตัวอย่างที่สกัด



ภาพที่ 22 เปรียบเทียบปริมาณสารประกอบฟีนอลิกระหว่างการสกัด *Murdannia gigantea* [ดอกขาวต้นขนาดใหญ่: Mg (w12) และ Mg (w11) และ ดอกขาวต้นขนาดเล็ก: Mg (ws), ดอกขาว โคนม่วง: Mg (pwm) และ ดอกม่วง: Mg (vm)], *M. macrocarpa* (Mm3) และ *M. simplex* (Ms1 และ Ms2) โดยแสดงค่า Mean \pm SD (n = 4) และ * หมายความว่า มีความแตกต่างอย่างมีนัยสำคัญทางสถิติ $p < 0.05$

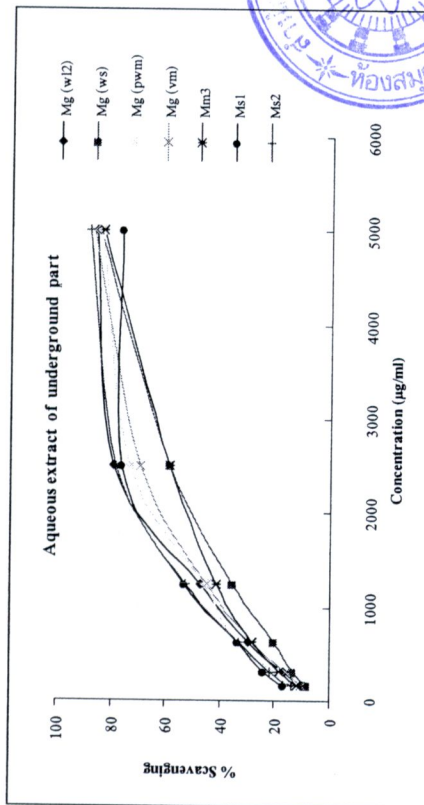
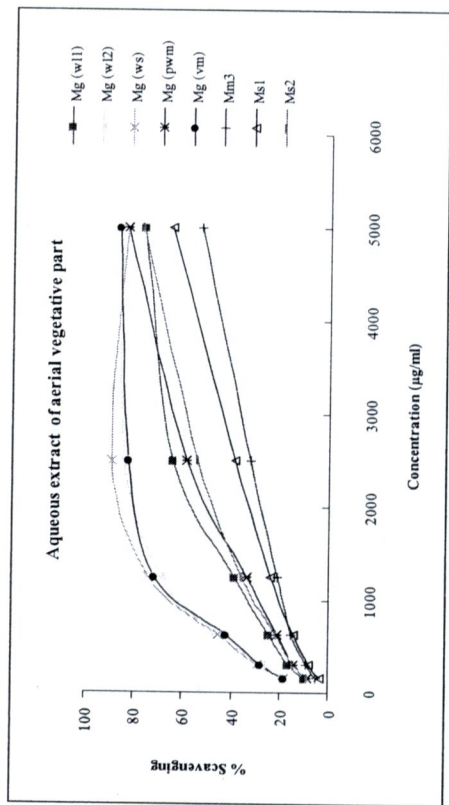
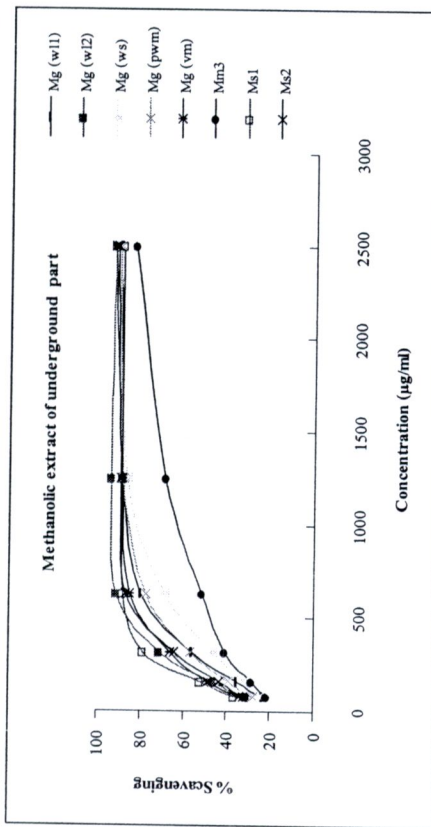
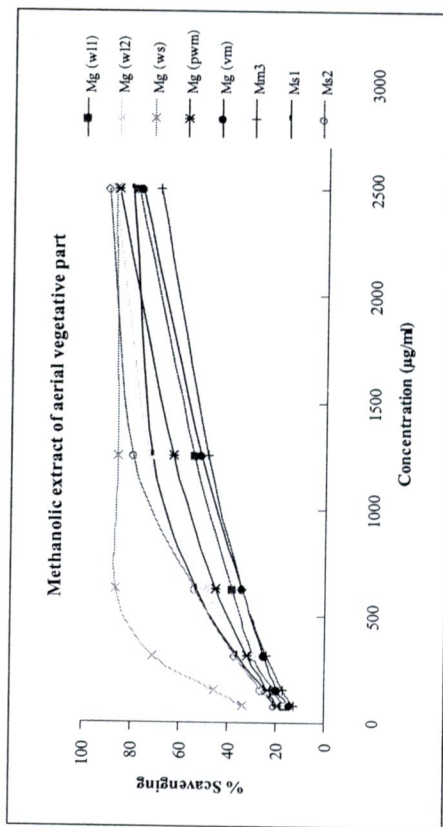
2. การทดสอบฤทธิ์ในการจับกับสารอนุมูลอิสระที่เสถียร (DPPH assay)

การทดสอบฤทธิ์ในการกำจัดสารอนุมูลอิสระ (free radical scavenging activity) ของสารสกัดด้วยเมทานอลและน้ำจากส่วนเหนือดินและส่วนใต้ดินของพืชทั้ง 4 ชนิด และสารต้านออกซิเดชันมาตรฐาน คือ trolox โดยทำการทดสอบกับอนุมูลอิสระที่เสถียรคือ DPPH[•] ซึ่งเป็นวิธีที่วัดความสามารถของสารทดสอบในการให้อิเล็กตรอนแก่อนุมูลอิสระ DPPH[•] ให้กลายเป็นสารที่เสถียรและไม่เป็นอนุมูลอิสระต่อไป กล่าวคืออนุมูลอิสระ DPPH[•] เมื่อละลายในเมทานอลจะมีสีม่วงเข้ม แต่เมื่อได้รับอิเล็กตรอนแล้วจะกลายเป็นสีเหลืองอ่อนทำให้ค่าดูดกลืนแสงลดลง จากผลการทดลองพบว่าสารสกัดด้วยเมทานอลและน้ำของพืชดังกล่าวทำปฏิกิริยากับอนุมูลอิสระ DPPH[•] เมื่อนำไปวัดค่าการดูดกลืนแสงพบว่าสามารถลดค่าการดูดกลืนแสงลงได้ตามความเข้มข้น (ภาพที่ 23) และเมื่อนำค่าการดูดกลืนแสงที่ได้ไปคำนวณค่า IC₅₀ (ตารางที่ 15) พบว่าโดยทั่วไปแล้วสารสกัดจาก *M. gigantea* มีความสามารถในการกำจัดอนุมูลอิสระ DPPH[•] ได้ดีที่สุดรองลงมาเป็น *M. simplex* และ *M. macrocarpa* ตามลำดับ (ภาพที่ 24) และมีความแตกต่างอย่างมีนัยสำคัญทางสถิติ ($p < 0.05$) ส่วน trolox มีค่า IC₅₀ = 18 ± 0.27 ไมโครกรัม/มิลลิลิตร และเมื่อเปรียบเทียบความสามารถในการกำจัดอนุมูลอิสระ DPPH[•] ของพืชดังกล่าวพบว่า

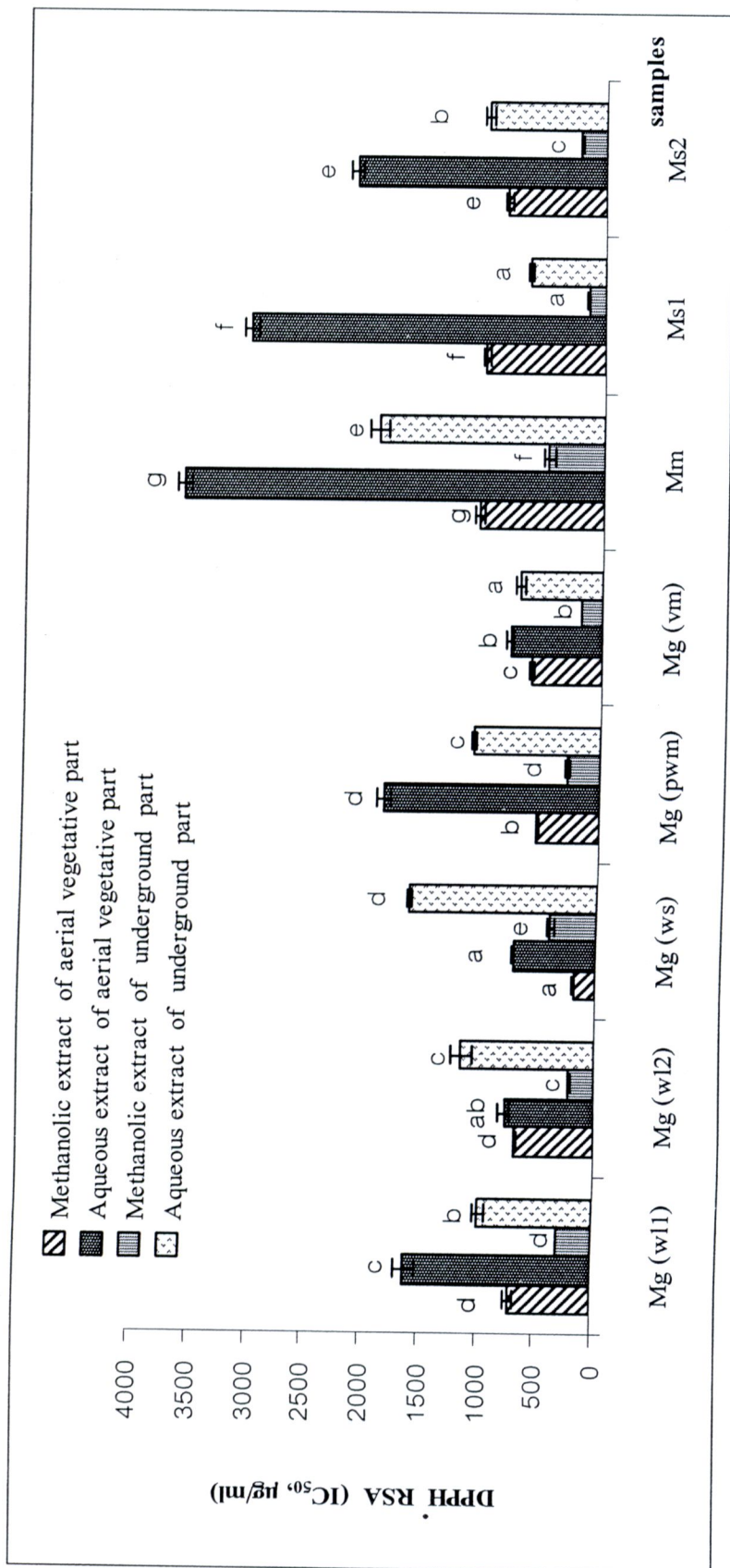
- ส่วนเหนือดิน (ตารางที่ 15 และ ภาพที่ 25)
 - สารสกัดด้วยเมทานอลของพืชแต่ละชนิดมีค่าความสามารถในการกำจัดอนุมูลอิสระ DPPH[•] แตกต่างกัน ซึ่งมีค่า IC₅₀ ตั้งแต่ 188.96 ± 8.78 ถึง 1068.40 ± 46.36 ไมโครกรัม/มิลลิลิตร โดย Mg (ws) มีความสามารถกำจัดอนุมูลอิสระ > Mg (pwm) > Mg (vm) > Mg (wl2) > Mg (wl1) > Ms2 > Ms1 > Mm ตามลำดับ
 - สารสกัดด้วยน้ำของพืชแต่ละชนิดมีค่าความสามารถในการกำจัดอนุมูลอิสระ DPPH[•] แตกต่างกัน ซึ่งมีค่า IC₅₀ ตั้งแต่ 710.49 ± 12.77 ถึง 3623.36 ± 59.39 ไมโครกรัม/มิลลิลิตร โดย Mg (ws) มีความสามารถกำจัดอนุมูลอิสระ > Mg (wl2) > Mg (vm) > Mg (wl1) > Mg (pwm) > Ms2 > Ms1 > Mm ตามลำดับ
- ส่วนใต้ดิน (ตารางที่ 15 และ ภาพที่ 25)
 - สารสกัดด้วยเมทานอลของพืชแต่ละชนิดมีค่าความสามารถในการกำจัดอนุมูลอิสระ DPPH[•] แตกต่างกัน ซึ่งมีค่า IC₅₀ ตั้งแต่ 149.72 ± 10.04 ถึง 827.2 ± 17.4 ไมโครกรัม/มิลลิลิตร โดยสารสกัด Ms1 มีความสามารถกำจัดอนุมูลอิสระ > Mg (vm) > Mg (wl2) > Ms2 > Mg (pwm) > Mg (wl1) > Mg (ws) > Mm ตามลำดับ
 - สารสกัดด้วยน้ำของพืชแต่ละชนิดมีค่าความสามารถในการกำจัดอนุมูลอิสระ DPPH[•] แตกต่างกัน ซึ่งมีค่า IC₅₀ ตั้งแต่ 647.34 ± 28.86 ถึง 1939.23 ± 79.73 ไมโครกรัม/มิลลิลิตร โดยสารสกัด Ms1 มีความสามารถกำจัดอนุมูลอิสระ > Mg (vm) > Mg (wl1) > Ms2 > Mg (pwm) > Mg (wl2) > Mg (ws) > Mm ตามลำดับ

ตารางที่ 15 แสดงค่า IC_{50} (ไมโครกรัม/มิลลิลิตร) ของความสามารถในการกำจัดอนุมูลอิสระ DPPH[•] ของสารสกัดด้วยเมทานอลและน้ำจากส่วนเหนือดินและใต้ดินในพืชแต่ละชนิด โดยแสดงค่า Mean \pm SD (n = 4)

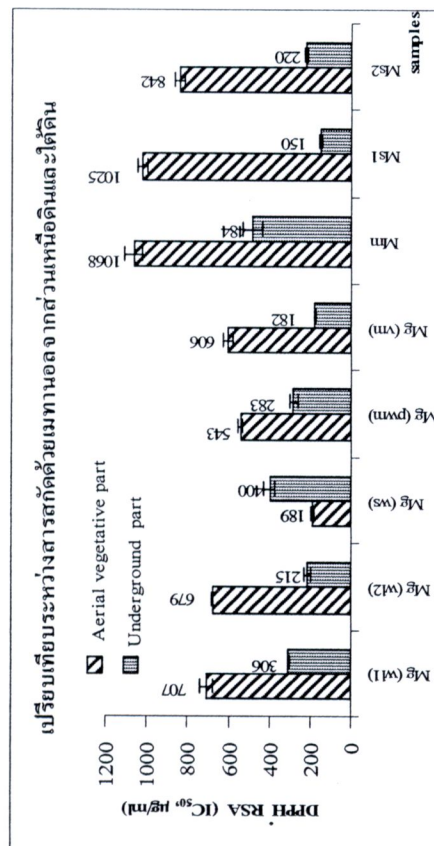
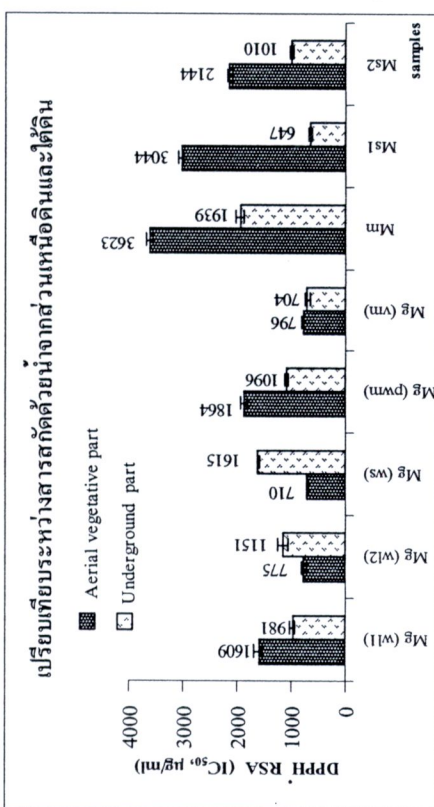
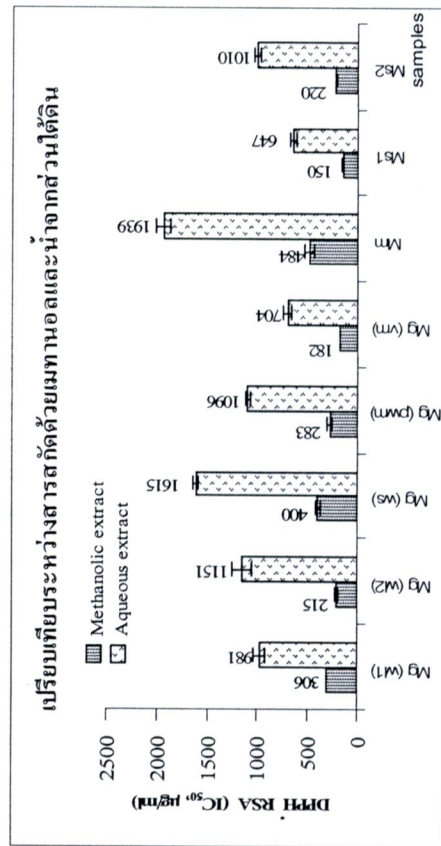
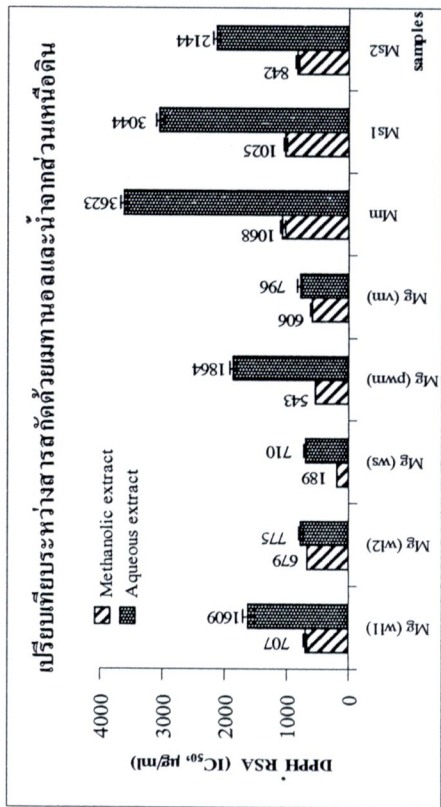
Samples	Aerial vegetative part		Underground part	
	Methanolic extract	Aqueous extract	Methanolic extract	Aqueous extract
Mg (wl1)	706.71 \pm 33.06	1608.67 \pm 84.12	306.35 \pm 2.13	980.51 \pm 53.40
Mg (wl2)	679.19 \pm 5.89	775.27 \pm 44.80	214.82 \pm 16.3	1151.05 \pm 91.01
Mg (ws)	188.96 \pm 8.78	710.49 \pm 12.77	399.93 \pm 26.78	1614.93 \pm 22.18
Mg (pwm)	543.40 \pm 9.66	1863.73 \pm 64.81	282.97 \pm 20.25	1095.99 \pm 23.89
Mg (vm)	606.30 \pm 22.36	796.33 \pm 29.26	181.82 \pm 4.57	703.92 \pm 38.25
Mm	1068.40 \pm 46.36	3623.36 \pm 59.39	483.59 \pm 49.8	1939.23 \pm 79.73
Ms1	1024.56 \pm 26.1	3044.26 \pm 58.55	149.72 \pm 10.04	647.34 \pm 28.86
Ms2	842.00 \pm 27.24	2143.51 \pm 50.27	219.85 \pm 8.87	1009.69 \pm 30.90



ภาพที่ 23 แสดงค่าความสามารถในการกำจัดอนุมูลอิสระ DPPH[•] ที่ความเข้มข้นต่าง ๆ (% scavenging) ของสารสกัดด้วยเมทานอลและน้ำจากส่วนเหนือดินและใต้ดินในพืช *Murdannia gigantea* [ดอกขาวต้นขนาดใหญ่: Mg (w11) และ Mg (w12), ดอกขาวต้นขนาดเล็ก: Mg (ws), ดอกขาว โคนม่วง: Mg (pwm) และ ดอกม่วง: Mg (vm)], *M. macrocarpa* (Mm3) และ *M. simplex* (Ms1 และ Ms2)



ภาพที่ 24 แสดงค่า IC_{50} (ไมโครกรัม/มิลลิลิตร) ของความสามารถในการกำจัดอนุมูลอิสระ DPPH[•] ของสารสกัดด้วยเมทานอลและน้ำจากส่วนเหนือดินและใต้ดินใน *Murdannia gigantea* [ดอกขาวต้นขนาดใหญ่: Mg (w11) และ Mg (w12), ดอกขาวต้นขนาดเล็ก: Mg (ws), ดอกขาว โคนม่วง: Mg (pwm) และ ดอกม่วง: Mg (vm)], *M. macrocarpa* (Mm3) และ *M. simplex* (Ms1 และ Ms2) โดยแสดงค่า Mean \pm SD (n = 4) และตัวอักษรบนภาพที่แตกต่างกันหมายความว่ามีความแตกต่างกันอย่างมีนัยสำคัญทางสถิติ $p < 0.05$ เปรียบเทียบในแต่ละตัวทำละลายที่ใช้สกัด

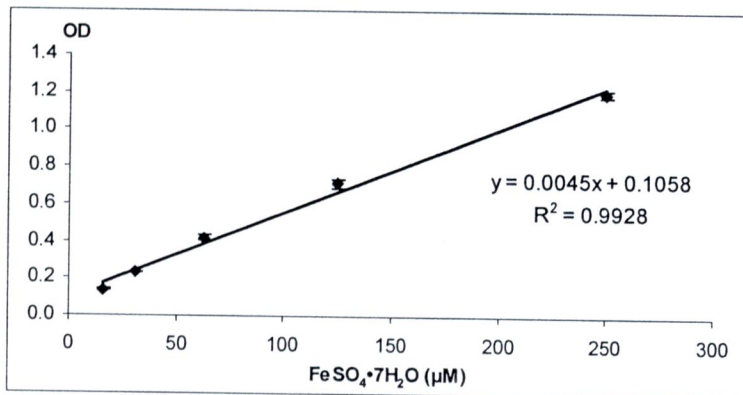


ภาพที่ 25 เปรียบเทียบความสามารถในการกำจัดอนุมูลอิสระ DPPH ของสารสกัด *Murdannia bracteata* (Mb), *M. gigantea* [ดอกขาวต้นขนาดใหญ่: Mg (w1) และ Mg (w2), ดอกขาวต้นขนาดเล็ก: Mg (ws), ดอกขาวโคนม่วง : Mg (pwm) และ ดอกม่วง : Mg (vm)], *M. macrocarpa* (Mm3) และ *M. simplex* (Ms1 และ Ms2) โดยแสดงค่า IC₅₀ (ไมโครกรัม/มิลลิลิตร) Mean ± SD (n = 4)

3. การทดสอบความสามารถในการเป็นสารต้านออกซิเดชันรวมทั้งหมด (FRAP assay)

วิธี FRAP assay เป็นการทดสอบความสามารถในการเป็นสารต้านออกซิเดชันรวมทั้งหมด โดยดูความสามารถในการเป็นตัวให้อิเล็กตรอนของสารทดสอบ (reducing activity) สำหรับการทดลองครั้งนี้ใช้สารประกอบเชิงซ้อน Fe^{III} -TPTZ เมื่อได้รับอิเล็กตรอนจากสารต้านออกซิเดชันจะเปลี่ยนเป็น Fe^{II} -TPTZ ซึ่งมีสีน้ำเงินเข้มและมีค่าการดูดกลืนแสงที่ความยาวคลื่น 550 นาโนเมตร และนำค่าดูดกลืนแสงที่ได้จากการวัดในแต่ละความเข้มข้นของสารสกัดเทียบกับสมการเส้นตรงของกราฟมาตรฐาน $\text{FeSO}_4 \cdot 7\text{H}_2\text{O}$ (ภาพที่ 26) จากผลการทดลองสารสกัดด้วยเมทานอลและน้ำทั้งจากส่วนเหนือดินและส่วนใต้ดินของพืชทั้ง 4 ชนิด สามารถรีดิวซ์โลหะเหล็ก Fe^{3+} ให้เป็น Fe^{2+} โดยพบว่า

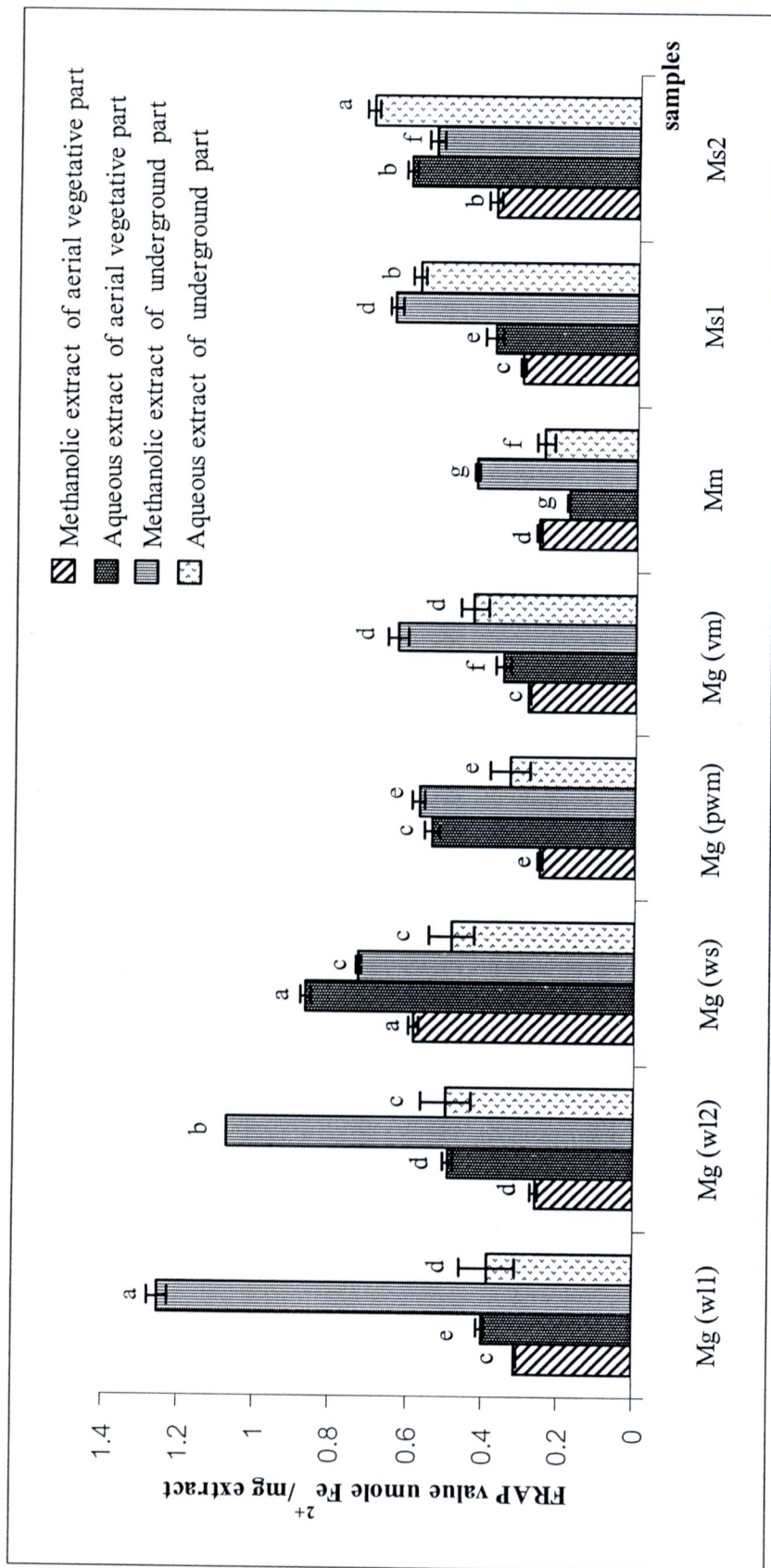
- ส่วนเหนือดิน (ตารางที่ 16 และ ภาพที่ 27 - 28)
 - สารสกัดด้วยเมทานอลของพืชแต่ละชนิดมีค่าความเป็น reducing agent แตกต่างกัน ซึ่งมีค่าตั้งแต่ 0.253 ± 0.006 ถึง $0.752 \pm 0.016 \mu\text{mole Fe}^{2+}/\text{mg extract}$ โดย $\text{Mg (ws)} > \text{Ms2} > \text{Mg (w11)} > \text{Ms1} > \text{Mg (vm)} > \text{Mg (w12)} > \text{Mm} > \text{Mg (pwm)}$ ตามลำดับ
 - สารสกัดด้วยน้ำของพืชแต่ละชนิดมีค่าความเป็น reducing agent แตกต่างกัน ซึ่งมีค่าตั้งแต่ 0.181 ± 0.005 ถึง $0.871 \pm 0.012 \mu\text{mole Fe}^{2+}/\text{mg extract}$ โดย $\text{Mg (ws)} > \text{Ms2} > \text{Mg (pwm)} > \text{Mg (w12)} > \text{Mg (w11)} > \text{Ms1} > \text{Mg (vm)} > \text{Mm}$ ตามลำดับ
- ส่วนใต้ดิน (ตารางที่ 16 และ ภาพที่ 27 - 28)
 - สารสกัดด้วยเมทานอลของพืชแต่ละชนิดมีค่าความเป็น reducing agent แตกต่างกัน ซึ่งมีค่าตั้งแต่ 0.284 ± 0.004 ถึง $1.253 \pm 0.026 \mu\text{mole Fe}^{2+}/\text{mg extract}$ โดย $\text{Mg (w11)} > \text{Mg (w12)} > \text{Mg (ws)} > \text{Ms1} > \text{Mg (vm)} > \text{Mg (pwm)} > \text{Ms2} > \text{Mm}$ ตามลำดับ
 - สารสกัดด้วยน้ำพืชแต่ละชนิดมีค่าความเป็น reducing agent แตกต่างกัน ซึ่งมีค่าตั้งแต่ 0.243 ± 0.025 ถึง $0.705 \pm 0.015 \mu\text{mole Fe}^{2+}/\text{mg extract}$ โดย $\text{Ms2} > \text{Ms1} > \text{Mg (w12)} > \text{Mg (ws)} > \text{Mg (vm)} > \text{Mg (w11)} > \text{Mg (pwm)} > \text{Mm}$ ตามลำดับ



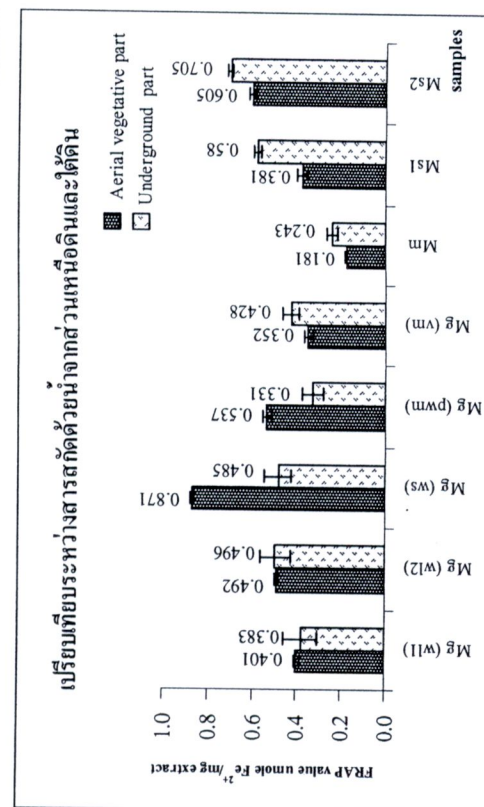
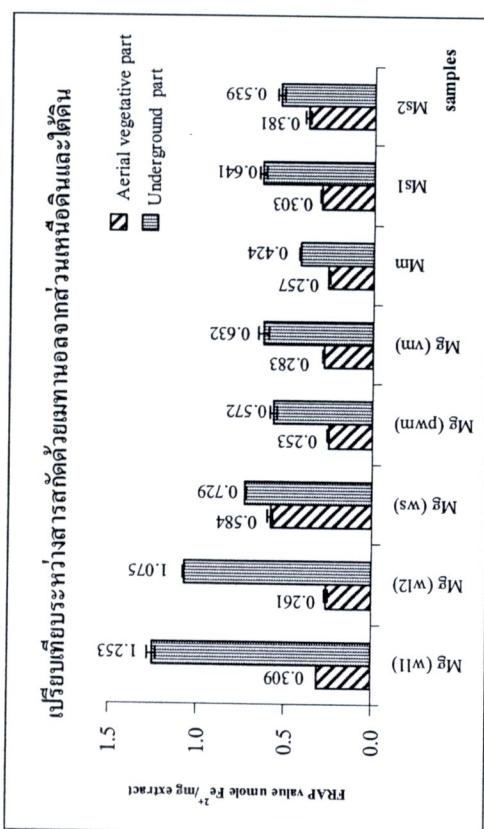
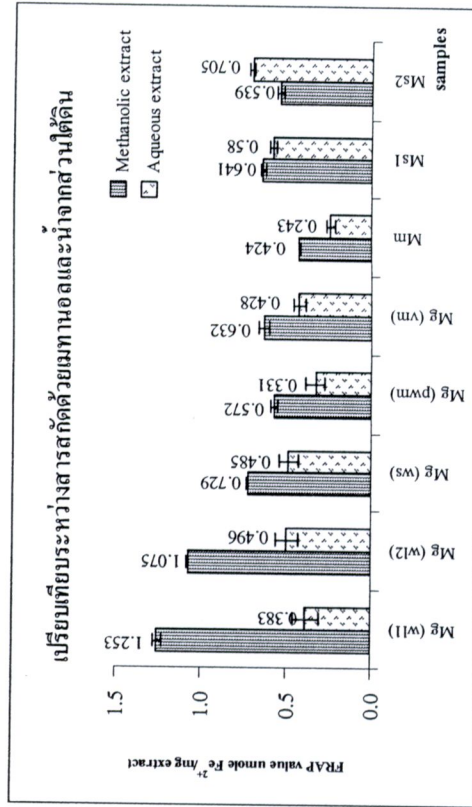
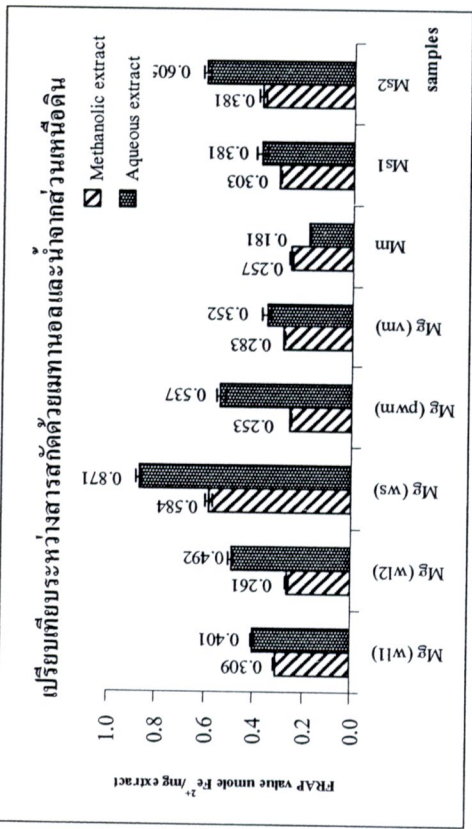
ภาพที่ 26 กราฟมาตรฐาน (calibration curve) สำหรับหาค่า FRAP value โดยใช้ $\text{FeSO}_4 \cdot 7\text{H}_2\text{O}$ เป็นสารมาตรฐาน ที่ค่าดูดกลืนแสงที่ความยาวคลื่น 595 นาโนเมตร

ตารางที่ 16 แสดงค่า FRAP value (Fe^{2+} $\mu\text{mole/mg}$ extract) ของสารสกัดด้วยน้ำและเมทานอลจากส่วนเหนือดิน และส่วนใต้ดินในพืชแต่ละชนิด โดยแสดงค่า Mean \pm SD (n = 4)

Samples	Aerial vegetative part		Underground part	
	Methanolic extract	Aqueous extract	Methanolic extract	Aqueous extract
Mg (wl1)	0.309 \pm 0.002	0.401 \pm 0.010	1.253 \pm 0.026	0.383 \pm 0.073
Mg (wl2)	0.261 \pm 0.009	0.492 \pm 0.012	1.075 \pm 0.002	0.496 \pm 0.067
Mg (ws)	0.584 \pm 0.014	0.871 \pm 0.012	0.729 \pm 0.005	0.485 \pm 0.060
Mg (pwm)	0.253 \pm 0.006	0.537 \pm 0.020	0.572 \pm 0.017	0.331 \pm 0.052
Mg (vm)	0.283 \pm 0.005	0.352 \pm 0.018	0.632 \pm 0.028	0.428 \pm 0.036
Mm	0.257 \pm 0.257	0.181 \pm 0.005	0.424 \pm 0.004	0.243 \pm 0.025
Ms1	0.303 \pm 0.303	0.381 \pm 0.023	0.641 \pm 0.017	0.580 \pm 0.019
Ms2	0.381 \pm 0.381	0.605 \pm 0.014	0.539 \pm 0.020	0.705 \pm 0.015



ภาพที่ 27 แสดงค่า FRAP value (Fe^{2+} $\mu\text{mole/mg extract}$) ของสารสกัดด้วยน้ำและเมทานอลจากส่วนเหนือดินและส่วนใต้ดินในพืช *Murdannia gigantea* [ดอกขาวต้นขนาดใหญ่: Mg (w11) และ Mg (w12), ดอกขาวต้นขนาดเล็ก: Mg (ws), ดอกขาว โคนม่วง: Mg (pwm) และดอกม่วง: Mg (vm)], *M. macrocarpa* (Mm3) และ *M. simplex* (Ms1 และ Ms2) โดยแสดงค่า Mean \pm SD ($n = 4$) และตัวอักษรบนภาพที่แตกต่างกันหมายความว่ามีความแตกต่างอย่างมีนัยสำคัญทางสถิติ $p < 0.05$ เปรียบเทียบในในแต่ละตัวทำละลายที่ใช้สกัด



ภาพที่ 28 เปรียบเทียบค่า FRAP value (Fe^{2+} μ mole/mg extract) ของสารสกัด *Murdannia gigantea* [ดอกขาวต้นขนาดใหญ่: Mg (w11) และ Mg (w12), ดอกขาวต้นขนาดเล็ก: Mg (ws), ดอกขาวโคนม่วง: Mg (pwm) และ ดอกม่วง: Mg (vm)], *M. macrocarpa* (Mm3) และ *M. simplex* (Ms1 และ Ms2) โดยแสดงค่า Mean \pm SD (n = 4)

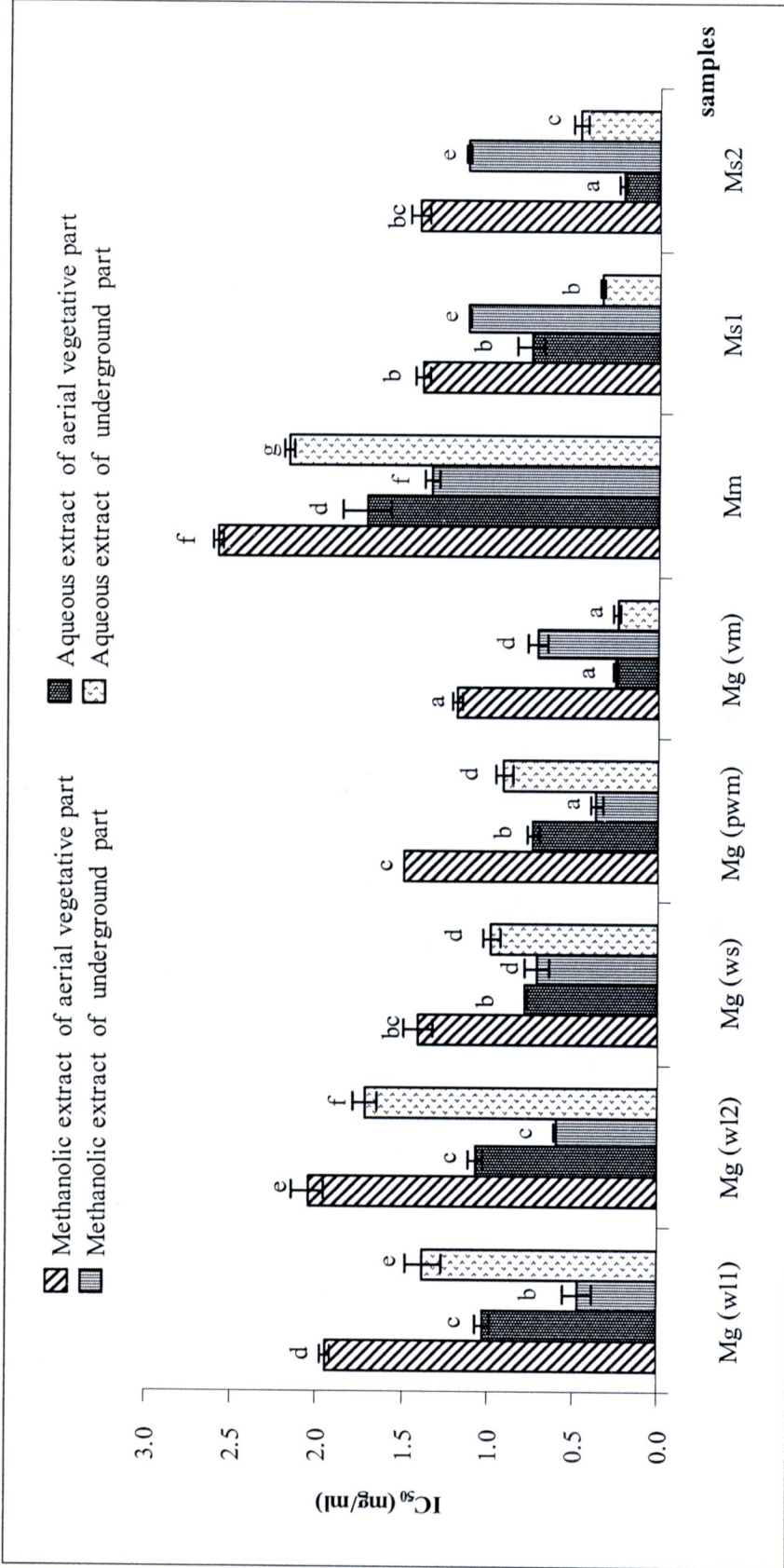
4. การทดสอบความสามารถในการยับยั้งปฏิกิริยา लिพิดเปอร์ออกซิเดชัน ด้วยวิธี TBARS

วิธี TBARS เป็นการวัดปริมาณ malondialdehyde (MDA) ซึ่งเป็นผลิตภัณฑ์ที่เกิดขึ้นจากปฏิกิริยา लिพิดเปอร์ออกซิเดชัน การทดลองครั้งนี้ใช้ Fe^{2+} -ascorbate เหนี่ยวทำให้เกิดปฏิกิริยา लिพิดเปอร์ออกซิเดชันในสมอหนู ซึ่งสาร MDA ที่เกิดขึ้นจะทำปฏิกิริยากับ TBA ที่อุณหภูมิสูงแล้วให้สาร TBARS ที่มีสีชมพู ดังนั้นสารที่มีฤทธิ์ต้านออกซิเดชันสามารถยับยั้งปฏิกิริยา लिพิดเปอร์ออกซิเดชันได้จะทำให้เกิด MDA ลดลงและพบค่าดูดกลืนแสงลดลง จากการทดลองพบว่าสารต้านออกซิเดชันมาตรฐาน trolox สามารถยับยั้งปฏิกิริยา लिพิดเปอร์ออกซิเดชันตามความเข้มข้นมีค่า IC_{50} 0.287 ± 0.022 มิลลิกรัม/มิลลิลิตร และเมื่อเปรียบเทียบกับค่า IC_{50} ของสารสกัดพืชแต่ละชนิด พบว่า

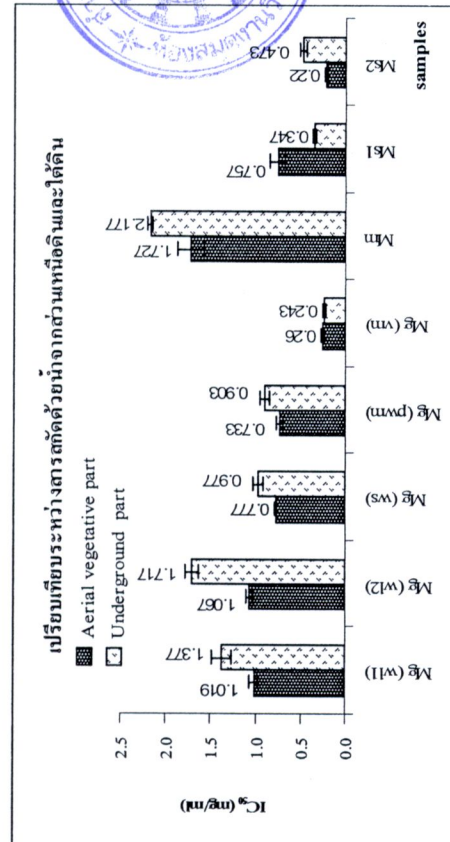
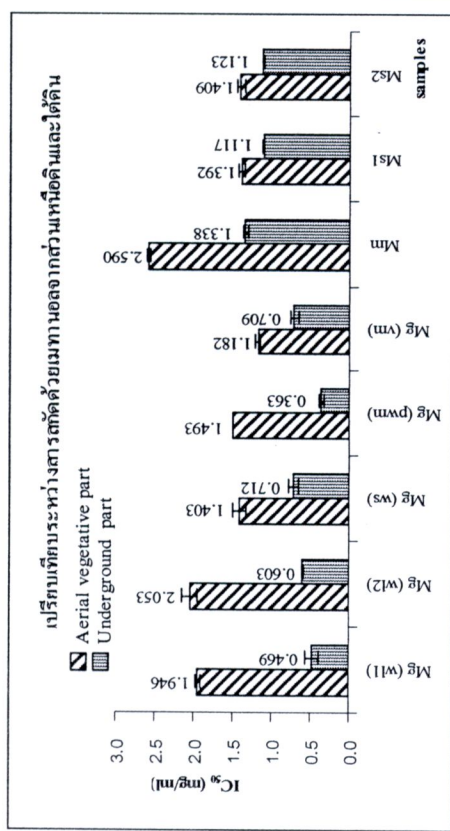
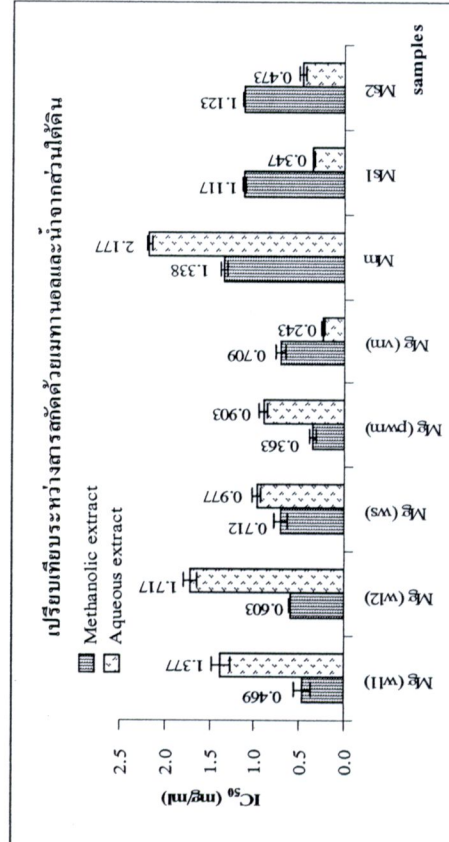
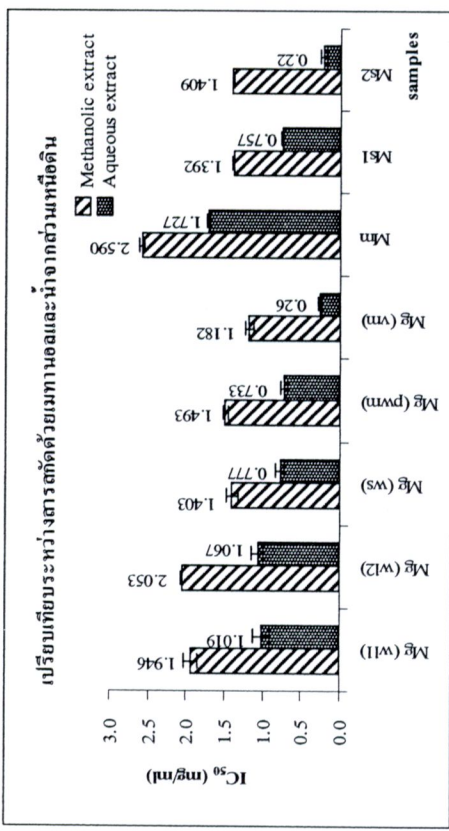
- ส่วนเหนือดิน (ตารางที่ 17 และ ภาพที่ 29-30)
 - สารสกัดด้วยเมทานอลของพืชแต่ละชนิดสามารถยับยั้งปฏิกิริยา लिพิดเปอร์ออกซิเดชันแตกต่างกัน ซึ่งมีค่า IC_{50} ตั้งแต่ 1.182 ± 0.026 ถึง 2.590 ± 0.026 มิลลิกรัม/มิลลิลิตร โดย $\text{Mg (vm)} > \text{Ms1} > \text{Mg (ws)} > \text{Ms2} > \text{Mg (pwm)} > \text{Mg (w11)} > \text{Mg (w12)} > \text{Mm}$ ตามลำดับ
 - สารสกัดด้วยน้ำของพืชแต่ละชนิดสามารถยับยั้งปฏิกิริยา लिพิดเปอร์ออกซิเดชันแตกต่างกัน ซึ่งมีค่า IC_{50} ตั้งแต่ 0.22 ± 0.026 ถึง 2.861 ± 0.08 มิลลิกรัม/มิลลิลิตร โดย $\text{Mm} > \text{Mg (w12)} > \text{Mg (w11)} > \text{Mg (ws)} > \text{Ms1} > \text{Mg (pwm)} > \text{Mg (vm)} > \text{Ms2}$ ตามลำดับ
- ส่วนใต้ดิน (ตารางที่ 17 และ ภาพที่ 29-30)
 - สารสกัดด้วยเมทานอลของพืชแต่ละชนิดสามารถยับยั้งปฏิกิริยา लिพิดเปอร์ออกซิเดชันแตกต่างกัน ซึ่งมีค่า IC_{50} ตั้งแต่ 0.363 ± 0.037 ถึง 1.338 ± 0.039 มิลลิกรัม/มิลลิลิตร โดย $\text{Mg (pwm)} > \text{Mg (w11)} > \text{Mg (w12)} > \text{Mg (vm)} > \text{Mg (ws)} > \text{Ms1} > \text{Ms2} > \text{Mm}$ ตามลำดับ
 - สารสกัดด้วยน้ำของพืชแต่ละชนิดสามารถยับยั้งปฏิกิริยา लिพิดเปอร์ออกซิเดชันแตกต่างกันและมีค่า IC_{50} ตั้งแต่ 0.243 ± 0.021 ถึง 2.177 ± 0.023 มิลลิกรัม/มิลลิลิตร โดย $\text{Mg (vm)} > \text{Ms1} > \text{Ms2} > \text{Mg (pwm)} > \text{Mg (ws)} > \text{Mg (w11)} > \text{Mg (w12)} > \text{Mm}$ ตามลำดับ

ตารางที่ 17 แสดงความสามารถในการยับยั้งปฏิกิริยาไลพิดเปอร์ออกซิเดชันในสมองหนู (IC_{50} , มิลลิกรัม/มิลลิลิตร) ของสารสกัดด้วยน้ำและเมทานอลจากส่วนเหนือดินและส่วนใต้ดินในพืชแต่ละชนิด โดยแสดงค่า Mean \pm SD (n = 3)

Samples	Aerial vegetative part		Underground part	
	Methanolic extract	Aqueous extract	Methanolic extract	Aqueous extract
Mg (wl1)	1.946 \pm 0.031	1.019 \pm 0.044	0.469 \pm 0.087	1.377 \pm 0.105
Mg (wl2)	2.053 \pm 0.093	1.067 \pm 0.040	0.603 \pm 0.012	1.717 \pm 0.074
Mg (ws)	1.403 \pm 0.087	0.777 \pm 0.006	0.712 \pm 0.069	0.977 \pm 0.051
Mg (pwm)	1.493 \pm 0.002	0.733 \pm 0.035	0.363 \pm 0.037	0.903 \pm 0.049
Mg (vm)	1.182 \pm 0.026	0.260 \pm 0.017	0.709 \pm 0.054	0.243 \pm 0.021
Mm	2.590 \pm 0.026	1.727 \pm 0.142	1.338 \pm 0.039	2.177 \pm 0.023
Ms1	1.392 \pm 0.038	0.757 \pm 0.081	1.117 \pm 0.012	0.347 \pm 0.015
Ms2	1.409 \pm 0.053	0.220 \pm 0.026	1.123 \pm 0.011	0.473 \pm 0.040



ภาพที่ 29 ความสามารถในการยับยั้งปฏิกิริยาฟิโตเคมิคัลของพืชในสมอหนู (IC₅₀, มิลลิกรัม/มิลลิลิตร) ของสารสกัดด้วยเมทานอลและน้ำจากส่วนเหนือดินและส่วนใต้ดินของ *Murdannia gigantea* [ดอกขาวต้นขนาดใหญ่: Mg (w11) และ Mg (w12), ดอกขาวต้นขนาดเล็ก: Mg (ws), ดอกขาวโคนม่วง: Mg (pwm) และ ดอกม่วง: Mg (vm)], *M. macrocarpa* (Mm3) และ *M. simplex* (Ms1 และ Ms2) โดยแสดงค่า Mean ± SD (n = 3) และตัวอักษรบนภาพที่แตกต่างกันหมายความว่ามีความแตกต่างกันอย่างมีนัยสำคัญทางสถิติ $p < 0.05$ เปรียบเทียบในแต่ละตัวอย่างที่ใส่สกัด



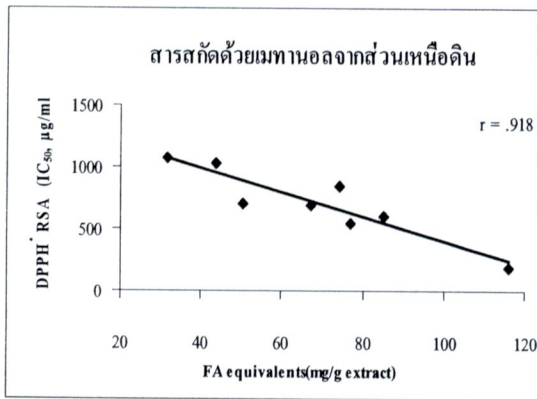
ภาพที่ 30 แสดงค่า IC₅₀ (มิลลิกรัม/มิลลิลิตร) ของความสามารถในการยับยั้งปฏิกิริยาฟิโตนีเคอออกซิเดชันในสมองหนู เปรียบเทียบระหว่างสารสกัด *Murdannia gigantea* [ดอกขาวต้นขนาดใหญ่: Mg (w11) และ Mg (w12), ดอกขาวต้นขนาดเล็ก: Mg (ws), ดอกขาว โคนม่วง: Mg (pwm) และ ดอกม่วง: Mg (vm)], *M. macrocarpa* (Mm3) และ *M. simplex* (Ms1 และ Ms2) โดยแสดงค่า Mean ± SD (n = 3)

5. ผลการเปรียบเทียบความสัมพันธ์ระหว่างปริมาณรวมของสารประกอบฟีนอลิกกับฤทธิ์ต้านออกซิเดชัน

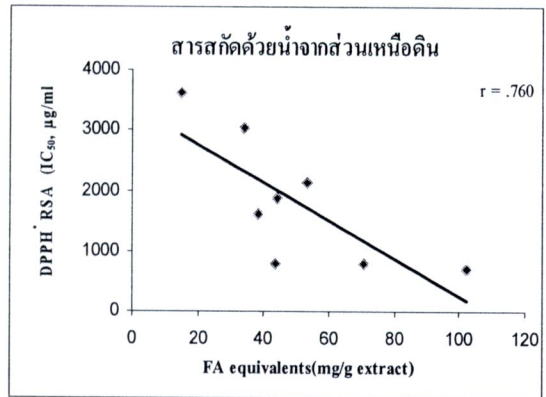
การวิเคราะห์สหสัมพันธ์ระหว่างปริมาณรวมของสารประกอบฟีนอลิกกับค่าความสามารถในการกำจัดอนุมูลอิสระ DPPH พบว่าสารสกัดด้วยเมทานอลจากส่วนเหนือดินมีสัมประสิทธิ์สหสัมพันธ์เพียร์สันเท่ากับ 0.918 (ภาพที่ 31 ก) สารสกัดด้วยน้ำจากส่วนเหนือดินมีสัมประสิทธิ์สหสัมพันธ์เพียร์สันเท่ากับ 0.760 (ภาพที่ 31 ข) สารสกัดด้วยเมทานอลจากส่วนใต้ดินมีสัมประสิทธิ์สหสัมพันธ์เพียร์สันเท่ากับ 0.574 (ภาพที่ 32 ก) สารสกัดด้วยน้ำจากส่วนใต้ดินมีสัมประสิทธิ์สหสัมพันธ์เพียร์สันเท่ากับ 0.644 (ภาพที่ 32 ข) ซึ่งมีความสัมพันธ์กันอย่างมีนัยสำคัญทางสถิติที่ระดับความเชื่อมั่นร้อยละ 95 ($p < 0.05$) คือถ้ามีปริมาณรวมของสารประกอบฟีนอลิกสูงจะมีค่า IC_{50} ในการกำจัดอนุมูลอิสระ DPPH ต่ำ ซึ่งค่า IC_{50} ที่ต่ำหมายความว่ามีความสามารถในการกำจัดอนุมูลอิสระ DPPH ที่ดี

การวิเคราะห์สหสัมพันธ์ระหว่างปริมาณรวมของสารประกอบฟีนอลิก และค่าความสามารถรวมในการเป็นสารรีดิวซ์ทดสอบด้วยวิธี FRAP พบว่าสารสกัดด้วยน้ำจากส่วนเหนือดินและสารสกัดด้วยเมทานอลจากส่วนเหนือดินและส่วนใต้ดินมีความสัมพันธ์กันอย่างมีนัยสำคัญทางสถิติที่ระดับความเชื่อมั่นร้อยละ 95 ($p < 0.05$) และค่าสัมประสิทธิ์สหสัมพันธ์เพียร์สันเท่ากับ 0.914, 0.756 และ 0.712 ตามลำดับ (ภาพที่ 31 ง และ ภาพที่ 32 ค) คือถ้าตัวอย่างที่ใช้ศึกษามีปริมาณรวมของสารประกอบฟีนอลิกสูง จะพบว่ามีค่าความสามารถรวมในการเป็นสารรีดิวซ์สูงด้วยส่วนสารสกัดด้วยน้ำจากส่วนใต้ดิน พบว่ามีความสัมพันธ์กันอย่างไม่มีนัยสำคัญทางสถิติที่ระดับความเชื่อมั่นร้อยละ 95 ($p < 0.05$) และมีค่าสัมประสิทธิ์สหสัมพันธ์เพียร์สันเท่ากับ 0.414 ตามลำดับ (ภาพที่ 31 ค และ ภาพที่ 32 ง)

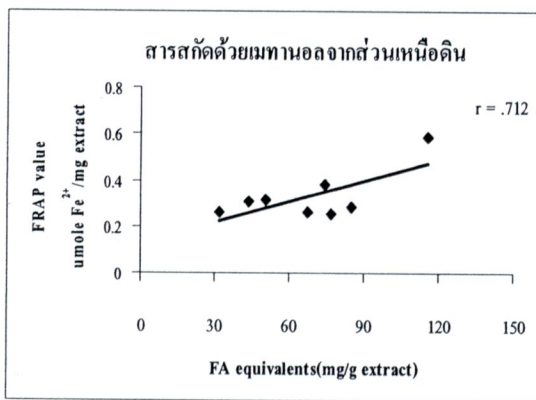
การวิเคราะห์สหสัมพันธ์ระหว่างปริมาณรวมของสารประกอบฟีนอลิก และค่าความสามารถในการยับยั้งปฏิกิริยาไลพิดเปอร์ออกซิเดชันทดสอบด้วยวิธี TBARS พบว่า สารสกัดด้วยเมทานอลจากส่วนเหนือดินและส่วนใต้ดินมีความสัมพันธ์กันอย่างมีนัยสำคัญทางสถิติที่ระดับความเชื่อมั่นร้อยละ 95 ($p < 0.05$) มีค่าสัมประสิทธิ์สหสัมพันธ์เพียร์สันเท่ากับ 0.643 และ 0.788 (ภาพที่ 32 จ) คือถ้ามีปริมาณรวมของสารประกอบฟีนอลิกสูงจะมีค่า IC_{50} ของความสามารถในการยับยั้งปฏิกิริยาไลพิดเปอร์ออกซิเดชันต่ำ ซึ่งค่า IC_{50} ที่ต่ำหมายความว่ามีความสามารถในการยับยั้งปฏิกิริยาไลพิดเปอร์ออกซิเดชันที่ดี ส่วนสารสกัดด้วยน้ำจากส่วนเหนือดินและส่วนใต้ดินพบว่ามีค่าความสัมพันธ์กันอย่างไม่มีนัยสำคัญทางสถิติที่ระดับความเชื่อมั่นร้อยละ 95 ($p < 0.05$) (ภาพที่ 31 ฉ-ฉ และ 32 ฉ)



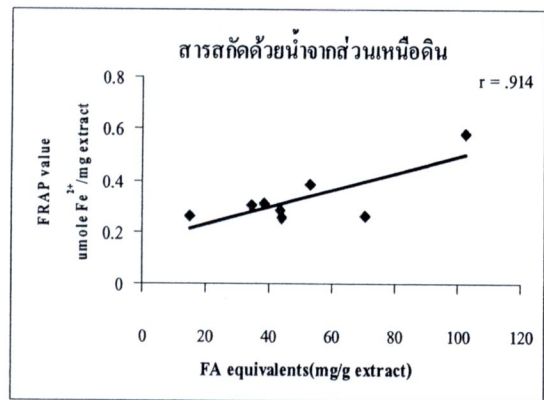
ก



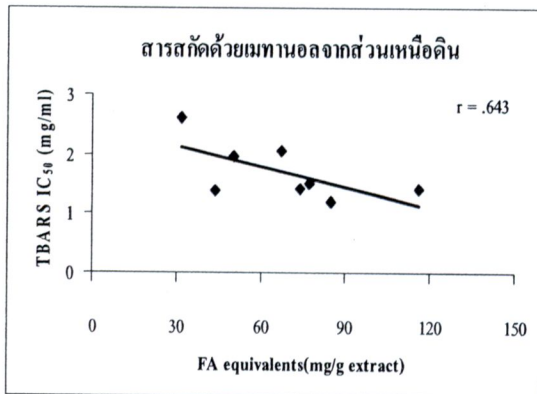
ข



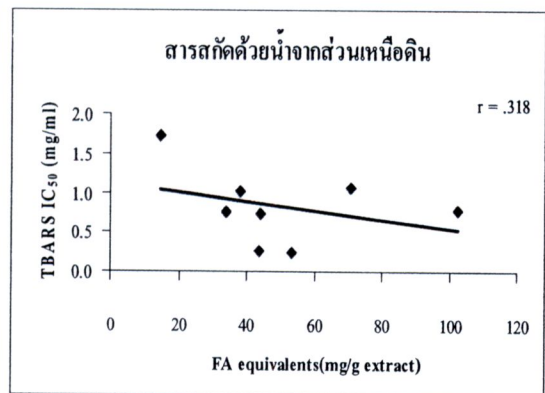
ค



ง

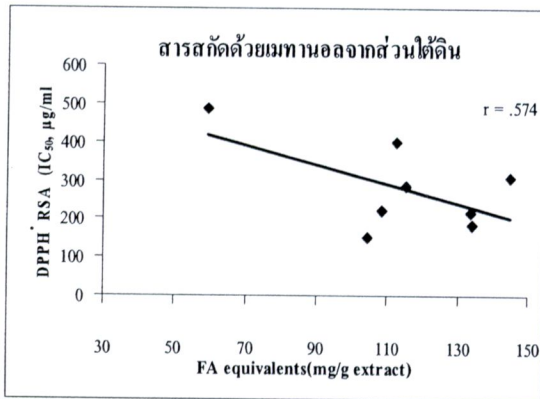


จ

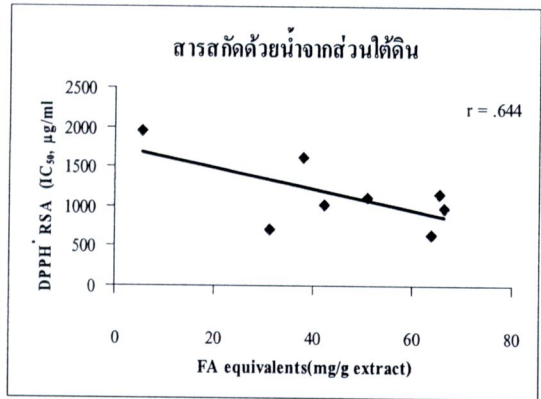


ฉ

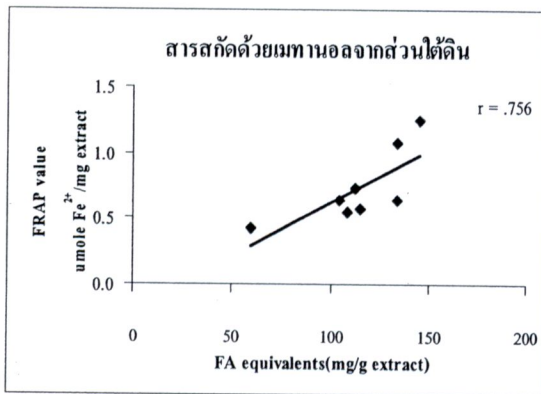
ภาพที่ 31 แสดงค่าความสัมพันธ์เชิงเส้นระหว่าง 2 ตัวแปร ของปริมาณสารประกอบฟีนอลิกทั้งหมดและฤทธิ์ต้านอนุมูลอิสระด้วยวิธี DPPH (ก. และ ข.), FRAP (ค. และ ง.) และ TBARS (จ. และ ฉ.) จากส่วนเหนือดินเมื่อทำการสกัดด้วยเมทานอล (ก., ค. และ จ.) และ น้ำ (ข., ง. และ ฉ.)



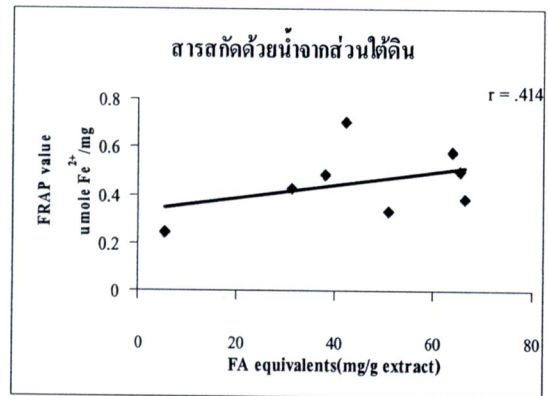
ก



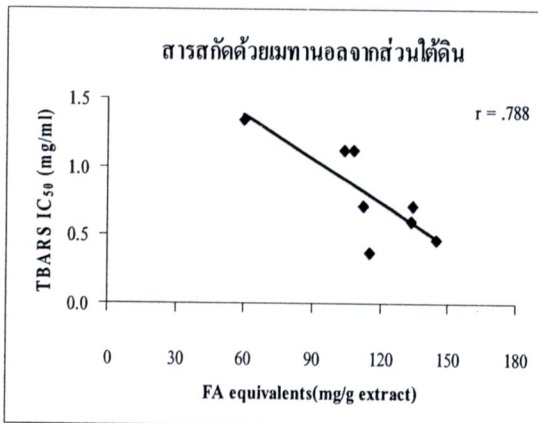
ข



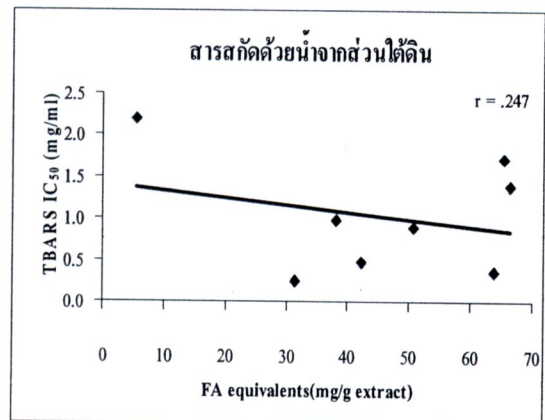
ค



ง



จ



ฉ

ภาพที่ 32 แสดงค่าความสัมพันธ์เชิงเส้นระหว่าง 2 ตัวแปร ของปริมาณสารประกอบฟีนอลิกทั้งหมดและฤทธิ์ต้านอนุมูลอิสระด้วยวิธี DPPH (ก. และ ข.), FRAP (ค. และ ง.) และ TBARS (จ. และ ฉ.) จากส่วนใต้ดินเมื่อทำการสกัดด้วยเมทานอล (ก., ค. และ จ.) และ น้ำ (ข., ง. และ ฉ.)

สรุปและวิจารณ์ผลการศึกษา

การศึกษาเพื่อเปรียบเทียบความสามารถในการกำจัดอนุมูลอิสระและฤทธิ์ต้านออกซิเดชันของสารสกัดด้วยเมทานอลและน้ำจากส่วนเหนือดินและส่วนใต้ดินระหว่าง *Murdannia gigantea* [ดอกขาวต้นขนาดใหญ่: Mg (w11) และ Mg (w12), ดอกขาวต้นขนาดเล็ก: Mg (ws), ดอกขาวโคนม่วง: Mg (pwm) และ ดอกม่วง: Mg (vm)], *M. macrocarpa* (Mm3) และ *M. simplex* (Ms2 และ Ms1) รายละเอียดแสดงในตารางที่ 13 โดยศึกษาในแบบจำลองในหลอดทดลอง (*In Vitro*) ซึ่งกลไกของแบบจำลองครอบคลุมในการวิเคราะห์ทั้งในแบบการส่งผ่านอิเล็กตรอน (electron transfer, SET) ด้วย Folin-Ciocalteu assay, DPPH assay และ FRAP assay และการส่งผ่านอะตอมไฮโดรเจน (hydrogen atom transfer, HAT) ด้วย TBARS assay โดยใช้ค่า IC_{50} ในการประเมินผลของสารสกัด

1. ผลการศึกษาเปรียบเทียบระหว่างชนิด

วิธี Folin-Ciocalteu จากการทดลองพบว่า เมื่อเปรียบเทียบปริมาณรวมของสารประกอบฟีนอลิก (total phenolic contents, TPC) ระหว่างพืชแต่ละชนิด (ตารางที่ 14 และภาพที่ 21) ในภาพรวมแล้วสารสกัด *M. gigantea* จะมีค่า TPC สูงที่สุดรองลงมา คือ *M. simplex* และ *M. macrocarpa* ตามลำดับ ซึ่งมีรายงานการศึกษาว่าตัวทำละลายที่ใช้ในการสกัดและส่วนของพืชที่นำมาใช้ในการศึกษานั้นมีผลต่อค่า TPC จากการศึกษาครั้งนี้พบว่าสารสกัดด้วยเมทานอลมีค่า TPC มากกว่าสารสกัดด้วยน้ำ (ตารางที่ 14 และภาพที่ 22) ซึ่งแตกต่างอย่างมีนัยสำคัญทางสถิติ ($p < 0.05$) และสอดคล้องกับรายงานการศึกษาของพืชสกุลเดียวกันในก่อนหน้า (ชาโรนี สิบปาละ และคณะ, 2550; 2551) อาจเป็นไปได้ว่าความมีขั้วของตัวทำละลายทั้งสองชนิดมีความแตกต่างกันทำให้ได้กลุ่มสารที่ละลายออกมานั้นต่างกันด้วย (Choi et al, 2007) เช่น สารจำพวก flavonoids ที่มี catechol เป็นองค์ประกอบ stilbenes และ tannins ซึ่งโครงสร้างหลักประกอบด้วย aromatic ring แทนที่ด้วย hydroxy group จะละลายในตัวทำละลายจำพวก alcohol ได้ดี (Pietta, 2000) เป็นต้น

เมื่อเปรียบเทียบส่วนของพืชที่นำมาใช้ศึกษาพบว่าในสารสกัดด้วยเมทานอลส่วนใต้ดินจะมีค่า TPC มากกว่าส่วนเหนือดินมีเพียงบางตัวอย่างของ *M. gigantea* เท่านั้นที่พบว่าส่วนเหนือดินมีค่า TPC มากกว่า ได้แก่ Mg (ws) ส่วนสารสกัดด้วยน้ำพบว่าส่วนใต้ดินมีค่า TPC มากกว่าส่วนเหนือดินพบในบางตัวอย่างของ *M. gigantea* ได้แก่ Mg (w11), Mg (wpm) และ *M. simplex* ส่วน *M. macrocarpa* และบางตัวอย่างของ *M. gigantea* ได้แก่ Mg (w12), Mg (ws) และ Mg (vm) พบว่าส่วนเหนือดินจะมีค่า TPC มากกว่าส่วนใต้ดิน (ตารางที่ 14 และภาพที่ 22) ซึ่งมีรายงานการศึกษาว่าพืชแต่ละชนิดจะมีค่า TPC ที่สกัดได้จากส่วนต่างๆ แตกต่างกันไป เช่น เหียง จะพบค่า TPC ในสารสกัดจากลำต้นมากกว่าสารสกัดที่ได้จากส่วนใบ ส่วนเอนอ้าและแมงลักคารากจะมีมากกว่าลำต้น เป็นต้น (ระวีวรรณ แก้วอมดวงศ์, 2549) แสดงให้เห็นว่าพืชแต่ละชนิดจะมีการสะสมสารกลุ่มฟีนอลิกในส่วนต่างๆ เช่น ราก ลำต้น ใบ แตกต่างกันไป

วิธี DPPH จากการประเมินค่าความสามารถในการกำจัดอนุมูลอิสระ DPPH[•] (DPPH[•] radical scavenging activity, DPPH[•] RSA) พบว่า ในภาพรวมแล้วสารสกัดจาก *M. gigantea* โดยเฉพาะ Mg (ws) มีความสามารถในการกำจัดอนุมูลอิสระ DPPH[•] ได้ดีที่สุดรองลงมาเป็น *M. simplex* และ *M. macrocarpa* ตามลำดับ (ตารางที่ 15 และภาพที่ 24) และเมื่อเทียบกับสารมาตรฐาน Trolox พบว่าสารสกัดด้วยเมทานอลจากส่วนเหนือดินของ Mg (ws) มีค่า DPPH[•] RSA ต่ำกว่าประมาณ 10 เท่า อาจเนื่องมาจากการศึกษาครั้งนี้ใช้สารสกัดหยาบซึ่งยัง

ไม่ทราบปริมาณสารที่ออกฤทธิ์แน่นอน แต่เมื่อเทียบกับรายงานผลการศึกษาของพืชต่างชนิดในสกุลเดียวกันในก่อนหน้านี้นั้น พบว่าสารสกัดดังกล่าวมีค่า DPPH' RSA ต่ำกว่าประมาณ 1.4, 2.3 และ 4.5 เท่าของ *M. bracteata*, *M. loriformis* และ *M. nudiflora* ตามลำดับ (ชาวินี สืบปาละ และคณะ, 2550; 2551) ซึ่งมีรายงานการศึกษาว่าตัวทำละลายที่ใช้ในการสกัดและส่วนของพืชที่นำมาใช้ในการศึกษานั้นมีผลต่อค่า DPPH' RSA (ชาวินี สืบปาละ และคณะ, 2550; 2551, Othman, et al, 2007) และจากการศึกษาครั้งนี้พบว่าสารสกัดด้วยเมทานอลมีค่า DPPH' RSA ต่ำกว่าสารสกัดด้วยน้ำ (ตารางที่ 15 และภาพที่ 25) ซึ่งแตกต่างอย่างมีนัยสำคัญทางสถิติ ($p < 0.05$) และสอดคล้องกับรายงานการศึกษาของพืชต่างชนิดในสกุลเดียวกันในก่อนหน้านี้นี้ (ชาวินี สืบปาละ และคณะ, 2550; 2551)

เมื่อเปรียบเทียบส่วนของพืชที่นำมาใช้ศึกษา พบว่าสารสกัดที่ได้จากส่วนใต้ดินมีค่า DPPH' RSA ต่ำกว่าส่วนเหนือดินทั้งที่สกัดด้วยเมทานอลและน้ำซึ่งแตกต่างอย่างมีนัยสำคัญทางสถิติ ($P < 0.05$) อาจเป็นไปได้ว่ากลุ่มสารที่ถูกสกัดด้วยเมทานอลและกลุ่มสารที่สกัดได้จากส่วนรากมีโครงสร้างและพันธะของสารที่เอื้อต่อการให้อิเล็กตรอนได้ง่ายกว่า ซึ่งเมื่อพิจารณาที่โครงสร้างของอนุมูลอิสระ DPPH' จะเห็นว่ามีอิเล็กตรอนเดี่ยวของอนุมูลอิสระนั้นถูกบดบังด้วยวงแหวนเบนซีน 3 วงและหมู่ไนโตร ทำให้สารต้านอนุมูลอิสระที่มีขนาดใหญ่เข้าทำปฏิกิริยากับอนุมูลอิสระได้ยากและช้ากว่าสารที่มีขนาดเล็ก (Huang et al., 2005) แต่มีบางตัวอย่างของสารสกัด *M. gigantea* ที่พบว่าส่วนเหนือดินมีค่า DPPH' RSA ต่ำกว่าส่วนใต้ดิน ได้แก่ Mg (ws) (สกัดด้วยเมทานอล ภาพที่ 25) Mg (wl2) และ Mg (ws) (สกัดด้วยน้ำ ภาพที่ 25)

วิธี FRAP สำหรับการวัดความสามารถรวมในการเป็นสารรีดิวซ์ (reducing agent) โดยวัดความสามารถของสารสกัดในการถ่ายเทอิเล็กตรอนให้แก่เหล็ก Fe^{3+} เป็นการเลียนแบบคุณสมบัติประการหนึ่งของสารต้านออกซิเดชันจากการทดลอง จะเห็นว่าสารสกัดด้วยเมทานอลจากส่วนใต้ดินนั้นเป็นสารรีดิวซ์ที่ดีกว่าเมื่อเทียบกับสารสกัดชนิดอื่น (ตารางที่ 16 และภาพที่ 27) เมื่อเปรียบเทียบค่า FRAP value ของสารสกัดด้วยเมทานอลจากส่วนใต้ดิน (ตารางที่ 16 และภาพที่ 28) ซึ่งเป็นกลุ่มของสารสกัดที่มีความสามารถรวมในการเป็นสารรีดิวซ์ได้ดีที่สุดพบว่า *M. gigantea* มีความสามารถรวมในการเป็นสารรีดิวซ์สูงสุดรองลงมาเป็น *M. simplex* และ *M. macrocarpa* ตามลำดับและสอดคล้องกับผลการทดสอบด้วยวิธี DPPH' อย่างไรก็ตามค่าที่วัดด้วยวิธี FRAP และวิธี DPPH' มีความสอดคล้องกันเพียงบางตัวอย่างเท่านั้น ซึ่งตัวอย่างที่มีฤทธิ์สูงหรือต่ำเมื่อวัดด้วยวิธี DPPH' นั้นยังมีความสามารถในการออกฤทธิ์คล้ายคลึงกับเมื่อวัดด้วยวิธี FRAP (ตารางที่ 16 และภาพที่ 28) เนื่องจากวิธี FRAP เป็นวิธีทดสอบความสามารถในการเป็นสารต้านออกซิเดชันรวมทั้งหมดของสารสกัด โดยวัดความสามารถในการยับยั้งการเกิดอนุมูลอิสระในปฏิกิริยาออกซิเดชันซึ่งแสดงถึงกลไกการออกฤทธิ์ของสารสกัด โดยการเป็นตัวรีดิวซ์เพื่อเปลี่ยน Fe^{3+} -TPTZ ไปเป็น Fe^{2+} -TPTZ (Benzie, Strain, 1996)

วิธี TBARS จากการประเมินความสามารถในการยับยั้งปฏิกิริยาลิพิดเปอร์ออกซิเดชันในแบบจำลองการศึกษาใช้สมองหนูเป็นแหล่งไขมันซึ่งการศึกษาครั้งนี้ได้ทำการวัดสาร malondialdehyde ซึ่งเป็นสารที่นิยมใช้เป็นตัวชี้วัดทางชีวภาพของภาวะที่ไขมันถูกออกซิไดซ์เกินสมดุล จากการทดลองสารสกัดด้วยน้ำทั้งจากส่วนเหนือดินและส่วนใต้ดินของ *M. gigantea* และ *M. simplex* สามารถต้านการเกิดปฏิกิริยาลิพิดเปอร์ออกซิเดชันได้ดีกว่า *M. macrocarpa* (ตารางที่ 17 และภาพที่ 29) อาจเนื่องมาจากสารสกัดด้วยน้ำของพืชดังกล่าวมีกลุ่มสารที่มีความสามารถในการให้โปรตอนได้ดีแก่อนุมูล LOO^{\cdot} ที่เกิดขึ้นในระหว่างปฏิกิริยาถูกโซลลิพิดเปอร์ออกซิเดชัน (Bravo, 1998) สอดคล้องกับรายงานการศึกษาของพืชต่างชนิดในสกุลเดียวกันในก่อนหน้านี้นี้ โดย

พบว่าสารสกัดด้วยน้ำมีความสามารถในการยับยั้งปฏิกิริยาลิพิดเปอร์ออกซิเดชันได้ดีกว่าสารสกัดด้วยเมทานอล (ธารินี สืบปาละ และคณะ, 2550; 2551) และเมื่อเปรียบเทียบส่วนของพืชที่นำมาใช้ในการสกัด พบว่าส่วนใต้ดินมีความสามารถในการยับยั้งปฏิกิริยาลิพิดเปอร์ออกซิเดชันได้ดีกว่าส่วนเหนือดิน (ตารางที่ 17 และภาพที่ 30) แต่อย่างไรก็ตามสารประกอบเชิงซ้อน TBARS ที่เกิดจาก TBA เป็นปฏิกิริยาที่ไม่เฉพาะเจาะจงกับ malondialdehyde เพราะสารหลายชนิด เช่น น้ำตาลสามารถทำปฏิกิริยากับกรดชนิดนี้ได้ แต่เนื่องจากวิธีนี้ทำได้ง่ายสะดวกอีกทั้งยังเป็นผลผลิตส่วนใหญ่ของปฏิกิริยาและไม่ต้องใช้เครื่องมือราคาสูง จึงยังคงเป็นวิธีที่นิยมใช้วัดภาวะลิพิดเปอร์ออกซิเดชันในร่างกาย จัดเป็นวิธีที่มีความใกล้เคียงกับปฏิกิริยานอนุมูลอิสระที่เกิดขึ้นในร่างกายมากกว่า 3 วิธีข้างต้น (โอภา วัชรระกูปต์ และ มาลีรักษ์ อัดต์สินทอง, 2549)

เมื่อเปรียบเทียบความสัมพันธ์ระหว่าง TPC กับความสามารถในการกำจัดอนุมูลอิสระและฤทธิ์ต้านออกซิเดชันพบว่า TPC มีความสัมพันธ์กับผลการศึกษาด้วยวิธี DPPH และ FRAP มากกว่าการศึกษาด้วยวิธี TBARS สารสกัดด้วยเมทานอลมีความสัมพันธ์กันมากกว่าสารสกัดด้วยน้ำและสารสกัดจากส่วนเหนือดินมีความสัมพันธ์กันมากกว่าสารสกัดจากส่วนใต้ดิน (ภาพที่ 31-32) และเมื่อเปรียบเทียบความสัมพันธ์ของสารสกัดด้วยเมทานอลจากส่วนเหนือดินในพืชแต่ละชนิด พบว่าส่วนใหญ่จะแปรผันตรงกับปริมาณฟีนอลิก (ทดสอบด้วยวิธี DPPH และ FRAP) เช่น Mg (ws), Mm เป็นต้น แต่บางตัวอย่างกลับพบว่าฤทธิ์ต้านออกซิเดชันคิดทั้งที่มีปริมาณสารฟีนอลิกต่ำกว่า เช่น Ms1 มีฤทธิ์ต้านออกซิเดชันดีกว่า Mg (vm) (ตารางที่ 13) จึงอาจเป็นไปได้ว่าความสามารถในการกำจัดอนุมูลอิสระและฤทธิ์ต้านออกซิเดชันของพืชกลุ่มนี้ ไม่ได้จำกัดอยู่ที่สารประกอบฟีนอลิกเท่านั้น ซึ่งจากการศึกษาพฤษเคมีเบื้องต้นในบทที่ผ่านมาจะเห็นว่าสารสกัดด้วยเมทานอลจากส่วนเหนือดินและส่วนใต้ดินมีสารประกอบหลักแตกต่างกันและพืชกลุ่มนี้มีสารประกอบหลัก ได้แก่ สารกลุ่มฟลาโวนอยด์ เทอร์ปีนอยด์ แอลคาลอยด์ (ภาพที่ 14-19) และสารกลุ่มสาร โพลีแซคคาไรด์ซึ่งสารเหล่านี้สามารถแสดงฤทธิ์ต้านออกซิเดชันได้เช่นกัน ดังนั้นการที่จะทราบว่าสารใดเป็นสารที่ออกฤทธิ์ต้านอนุมูลอิสระที่แน่ชัดจึงควรทำการศึกษาโดยการแยกให้ได้สารบริสุทธิ์แล้วนำมาทดสอบฤทธิ์นี้ต่อไป

2. ผลการศึกษาเปรียบเทียบพืชชนิดเดียวกันเก็บได้จากสถานที่แตกต่างกันและพบว่ามีลักษณะผันแปรทางสัณฐานวิทยา

Murdannia gigantea [ดอกขาวต้นขนาดใหญ่: Mg (wl1) และ Mg (wl2), ดอกขาวต้นขนาดเล็ก: Mg (ws), ดอกขาวโคนม่วง: Mg (pwm) และ ดอกม่วง: Mg (vm)] (ตารางที่ 13) จากการศึกษาพบว่า ในสารสกัดด้วยเมทานอลจากส่วนเหนือดินสามารถแบ่งกลุ่มพืชออกได้เป็น 4 กลุ่ม ตามความสามารถในการต้านออกซิเดชันเมื่อทำการทดสอบด้วยวิธี Folin-Ciocalteu และ วิธี DPPH ซึ่งสอดคล้องกับลักษณะผันแปรทางสัณฐานวิทยาและสามารถนำไปใช้สนับสนุนการจัดจำแนกพืชกลุ่มนี้ในระดับสายพันธุ์ได้ กล่าวคือ เมื่อทำการทดสอบด้วย

วิธี Folin-Ciocalteu กลุ่มพืช (population) ที่มีดอกสีขาวต้นเล็กมีปริมาณรวมของสารประกอบฟีนอลิกสูงที่สุดรองลงมา คือ กลุ่มดอกสีม่วง กลุ่มดอกสีขาวโคนกลีบดอกสีม่วงและกลุ่มดอกสีขาวต้นใหญ่ ตามลำดับ (ตารางที่ 14 และภาพที่ 21-22)

วิธี DPPH กลุ่มดอกสีขาวดั้นเล็กมีความสามารถในการกำจัดอนุมูลอิสระ DPPH ได้ดีที่สุดในรองลงมาเป็นกลุ่มดอกสีขาวโคนกลีบดอกสีม่วง กลุ่มดอกสีม่วงและกลุ่มดอกสีขาวดั้นใหญ่ ตามลำดับ (ตารางที่ 15 และภาพที่ 24-25)

3. ผลการศึกษาเปรียบเทียบพืชชนิดเดียวกันที่เก็บได้จากสถานที่แตกต่างกัน แต่ไม่พบลักษณะผันแปรทางสัณฐานวิทยา

M. simplex พบว่าตัวอย่างทั้ง 2 ตัวอย่างที่ใช้ในการศึกษาคั้งนี้แสดงฤทธิ์ต้านออกซิเดชันแตกต่างกันอย่างมีนัยสำคัญทางสถิติ ($p < 0.05$) เมื่อทำการสกัดด้วยเมทานอลจากส่วนเหนือดินเมื่อทดสอบด้วยวิธี Folin-Ciocalteu (ตารางที่ 14 และภาพที่ 22) และวิธี DPPH (ตารางที่ 15 และภาพที่ 25) แต่ผลการทดสอบด้วยวิธี FRAP (ตารางที่ 16 และภาพที่ 28) และวิธี TBARS (ตารางที่ 17 และภาพที่ 30) พบว่า มีความแตกต่างอย่างไม่มีนัยสำคัญทางสถิติ ($p < 0.05$) อาจเป็นไปได้ว่าสภาพการเจริญเติบโตของพืชที่อยู่ในพื้นที่แตกต่างกันมีผลต่อปริมาณสารประกอบฟีนอลิกและสารสำคัญอื่นๆ ที่มีฤทธิ์ต้านออกซิเดชันทำให้ผลการศึกษาที่ได้นั้นแตกต่างกันไปในแต่ละวิธี ซึ่งมีรายงานการศึกษาเกี่ยวกับการกระจายพันธุ์และสภาพแวดล้อมว่ามีผลต่อองค์ประกอบทางเคมีของพืช โดย Qiu et al. (2007) ได้ศึกษาองค์ประกอบทางเคมีของ *Notopterygium incisum* Ting ex H.T. Chang (Qianghuo) วงศ์ Apiaceae จากส่วนรากและลำต้นใต้ดินที่ได้จากสถานที่แตกต่างกันทั้งสภาพภูมิอากาศและสภาพภูมิประเทศ ได้แก่ Sichuan, Ningxia, Inner Mongolia, Hunan และ Gansu พบว่าความแตกต่างของสถานที่สภาพภูมิอากาศและสภาพภูมิประเทศ มีผลต่อองค์ประกอบทางเคมีของน้ำมันหอมระเหยทั้งในเชิงคุณภาพและเชิงปริมาณ นอกจากนี้ Javanmardi et al. (2003) รายงานการศึกษาปริมาณฟีนอลิกซึ่งทำการทดสอบด้วยวิธี Folin-Ciocalteu และฤทธิ์ต้านออกซิเดชันด้วยวิธี trolox equivalent antioxidant capacity (TEAC) จากเมล็ด *Ocimum basilicum* L. จำนวน 23 ตัวอย่าง ที่ได้จากสวนในบ้าน ฟาร์มปลูกและตลาดในประเทศอิหร่านพบว่าปริมาณฟีนอลิกและฤทธิ์ต้านออกซิเดชันแตกต่างกันในบางตัวอย่าง

ดังนั้นนอกจากตัวทำละลายที่ใช้และส่วนของพืชที่นำมาใช้ในการสกัดแล้ว ลักษณะผันแปรทางสัณฐานวิทยา การกระจายพันธุ์และสภาพแวดล้อมในการเจริญเติบโตของพืชจึงเป็นอีกปัจจัยที่ต้องคำนึงถึงในการศึกษาเกี่ยวกับฤทธิ์ต้านออกซิเดชันต่อไปในอนาคต จากการศึกษาครั้งนี้จะเห็นได้ว่าพืชทั้ง 3 ชนิดเป็นแหล่งของสารต้านออกซิเดชันจากธรรมชาติอีกแหล่งทางเลือก โดยเฉพาะ *M. gigantea* และ *M. simplex* ที่มีการใช้ประโยชน์เป็นยาพื้นบ้านมาช้านานแต่ยังไม่ปรากฏรายงานการศึกษาวิจัยทางเภสัชวิทยา จากข้อมูลการศึกษาข้างต้นจะเห็นว่าพืชกลุ่มนี้มีฤทธิ์ต้านออกซิเดชันที่ดีเมื่อเทียบกับพืชในสกุลเดียวกัน เช่น *M. bracteata* เป็นพืชที่มีรายงานการศึกษาวิจัยในก่อนหน้าและมีการใช้ประโยชน์อย่างแพร่หลายมีจำหน่ายในรูปแบบต่างๆ ตามท้องตลาด การศึกษานี้จึงเป็นการเพิ่มเติมข้อมูลทางเภสัชวิทยาเกี่ยวกับฤทธิ์ต้านออกซิเดชันของพืชกลุ่มนี้และเป็นข้อมูลพื้นฐานที่สามารถนำไปประยุกต์ใช้ในการศึกษาต่อไปในอนาคต อย่างไรก็ตามการศึกษาคั้งนี้เป็นเพียงการศึกษาศามารถด้านออกซิเดชันแคในหลอดทดลองซึ่งเป็นเพียงปฏิกิริยาเคมีเท่านั้นยังคงต้องการศึกษาในสัตว์ทดลองต่อไป